

170923

KARADENİZ TEKNİK ÜNİVERSİTESİ
FEN BİLİMLERİ ENSTİTÜSÜ

MAKİNA MÜHENDİSLİĞİ ANABİLİM DALI

Zn-40Al-2Cu-2Si ALAŞIMININ YETERSİZ VE SÜREKLİ YAĞLAMA
DURUMLARINDAKİ SÜRTÜNME VE AŞINMA ÖZELLİKLERİNİN
İNCELENMESİ

Mak. Müh. Zeki AZAKLI

Karadeniz Teknik Üniversitesi Fen Bilimleri Enstitüsünce
"Makina Yüksek Mühendisi"
Unvanı Verilmesi İçin Kabul Edilen Tezdir.

Tezin Enstitüye Verildiği Tarih : 20.06.2005
Tezin Savunma Tarihi : 25.07.2005

Tez Danışmanı : Prof. Dr. Temel SAVAŞKAN
Jüri Üyesi : Prof. Dr. Fazlı ARSLAN
Jüri Üyesi : Prof. Dr. Ragıp ERDÖL



Enstitü Müdürü : Prof. Dr. Emin Zeki BAŞKENT



ÖNSÖZ

Çinko esaslı alaşımalar üretimlerinin kolay ve ekonomik olması, özgül mukavemetlerinin (mukavemet/yoğunluk) yüksek olması, yağ kesilmesi durumunda bile iyi yataklama yapması, yüksek sönümleme kapasitesine sahip olmaları, aşırı yükleme, yetersiz yağlama ve yüksek hızlı çalışma koşullarında bile ideal tribolojik davranış sergilemeleri nedeni ile bir çok geleneksel yatak alaşımının yerine başarılı bir şekilde kullanılmaktadır.

Bu çalışmada üretilen Zn-40Al-2Cu-2Si alaşımının gerek dökülmüş ve gerekse ıslı işlem görmüş durumlarda yapısal ve mekaniksel özellikleri araştırıldıktan sonra yetersiz ve sürekli yağlama şartlarındaki tribolojik özellikleri incelendi. Yapılan deneyler sonucunda bu alaşımın yetersiz yağlama durumunda 4 MPa basınç'a kadar ideal tribolojik davranış sergilediği, bu basınç değerinden sonra ise aşınma kaybının aniden arttığı gözlendi. Sürekli yağlama durumunda ise bu alaşımın geleneksel bir yatak alaşımı olan SAE 660 bronzundan daha üstün aşınma direnci sergilediği görüldü. Ayrıca uygulanan T6 ıslı işlemi sonucunda bu alaşımın mekanik özelliklerinin ve aşınma direncinin daha da iyileştiği belirlendi.

Bu konunun seçiminde ve çalışmamın her aşamasında beni yönlendiren ve her türlü fedakârlığı ve yardımı gösteren Sayın hocam Prof. Dr. Temel SAVAŞKAN'a teşekkür ederim. Ayrıca tez çalışmama yardım eden ve katkıda bulunan Arş. Gör. Osman BİCAN ve Öğr. Gör. Yasin ALEMDAĞ'a teşekkürü bir borç bilirim. Bu çalışmanın yürütülmesinde yardımlarını esirgemeyen Makina Mühendisliği Bölümü Malzeme ve Takım Tezgahları laboratuarlarında çalışan tüm teknisyenlere teşekkür ederim.

Ayrıca, bu çalışma süresince manevi desteklerini benden esirgemeyen aileme ve sevdiklerime teşekkür ederim.

Zeki AZAKLI
Trabzon 2005

İÇİNDEKİLER

	Sayfa No
ÖNSÖZ.....	II
İÇİNDEKİLER.....	III
ÖZET.....	V
SUMMARY.....	VI
ŞEKİLLER DİZİNİ.....	VII
TABLOLAR DİZİNİ.....	XI
1. GENEL BİLGİLER.....	1
1.1. Giriş.....	1
1.2. Çinko-Alüminyum Esaslı Alaşımaların Faz Diyagramları.....	2
1.2.1. İkili Çinko-Alüminyum Faz Diyagramı.....	2
1.2.2. Üçlü Zn-Al-Cu Faz Diyagramı.....	4
1.2.3. Dörtlü Zn-Al-Cu-Si Faz Diyagramı.....	5
1.3. Çinko Esaslı Alaşımaların Özellikleri.....	6
1.3.1. Çinko Esaslı Alaşımaların Fiziksel Özellikleri.....	6
1.3.2. Çinko Esaslı Alaşımaların Mekanik Özellikleri.....	6
1.3.3. Çinko Esaslı Alaşımaların Tribolojik Özellikleri.....	8
1.4. Literatür Özeti ve Çalışmanın Amacı.....	11
2. DENEYSEL ÇALIŞMA.....	13
2.1. Alaşımın Üretimi	13
2.2. Yapısal İnceleme.....	13
2.3. Alaşımın Fiziksel ve Mekanik Özelliklerinin İncelenmesi.....	13
2.4. Alaşımın Tribolojik Özelliklerinin İncelenmesi.....	14
3. BULGULAR.....	19
3.1. Alaşımın İç Yapısı.....	19
3.2. Fiziksel ve Mekanik Deneylerden Elde Edilen Bulgular.....	20
3.3. Sürüünme ve Aşınma Deneylerinden Elde Edilen Bulgular.....	22
3.4. Aşınma Yüzeylerinin İncelenmesinden Elde Edilen Bulgular.....	43
4. İRDELEME.....	50

5.	SONUÇLAR.....	55
6.	ÖNERİLER.....	57
7.	KAYNAKLAR.....	58
	ÖZGEÇMİŞ.....	64



ÖZET

Bu çalışmada Zn-40Al-2Cu-2Si alaşımına ait 4 adet külçe kokil döküm yöntemi ile üretildi. Üretilen külçelerin ikisi çözündürme, su verme ve yapay yaşlandırma aşamalarını içeren T6 ıslı işlemeye tabi tutuldu. Alaşımın gerek dökülmüş gerekse ıslı işlem görmüş örneklerinin yapısal ve mekanik özelliklerini incelendikten sonra yetersiz ve sürekli yağlama şartlarındaki tribolojik (sürtünme ve aşınma) davranışları disk-çubuk esaslı bir aşınma deney düzeneği yardımıyla araştırıldı.

Zn-40Al-2Cu-2Si alaşımının dökülmüş durumındaki iç yapısının alüminyumca zengin α fazı ile bu fazı çevreleyen çinko zengin η , bakırca zengin ϵ fazları ve silisyum parçacıklarından olduğu görüldü. Uygulanan ıslı işlem sonucunda alaşımın iç yapısında ince çökeltilerin olduğu, ancak silisyum parçacıklarının ıslı işlemden etkilenmediği görüldü. Ayrıca uygulanan ıslı işlemin bu alaşımın sertlik ve çekme dayanımını artırdığı belirlendi.

İncelenen alaşımın dökülmüş ve ıslı işlem görmüş örneklerinin sürtünme katsayılarının yetersiz yağlama durumunda artan basınç ile önce azalıp 3 MPa değerinden sonra arttığı; hızda ise düzensiz bir değişim sergilediği gözlandı. Alaşima ait aşınma örneklerinin sıcaklıklarını da artan basınç ve hız ile arttığı görüldü. Yetersiz yağlama durumunda söz konusu alaşımında meydana gelen aşınma kayıplarının artan basınç ile exponansiyel olarak arttığı; artan hız ile 4 MPa'a kadar lineer, bu basınç değerinden sonra da exponansiyel olarak arttığı belirlendi.

Sürekli yağlama durumunda Zn-40Al-2Cu-2Si alaşımına ait aşınma örneklerinin sürtünme katsayılarının artan basınç ve hız ile azaldığı, sıcaklıkların ise bu parametreler ile arttığı görüldü. Söz konusu örneklerde meydana gelen aşınma kayıplarının da artan basınç ve hız ile lineer olarak arttığı belirlendi. Sürekli yağlama durumunda Zn-40Al-2Cu-2Si alaşımına ait örneklerin gerek dökülmüş gerekse ıslı işlem görmüş durumlarda SAE 660 bronzundan, özellikle 4 MPa'dan daha yüksek basınçlarda çok daha üstün aşınma direnci sergiledikleri gözlandı.

Yapılan değerlendirme sonucunda, uygulanan ıslı işlemin Zn-40Al-2Cu-2Si alaşımının sertlik ve mukavemetinden başka sürtünme katsayısı, sıcaklık ve aşınma direncini de artırdığı belirlendi.

Anahtar Kelimeler: Zn-40Al-2Cu-2Si alaşımı, Yetersiz yağlama. Sürekli yağlama, Sürtünme ve Aşınma.

SUMMARY

An Investigation of Friction and Wear Properties of Zn-40Al-2Cu-2Si Alloy Under Inadequate and Continuous Lubrication Conditions

In this study, four ingots of Zn-40Al-2Cu-2Si alloy were produced by permanent mould casting. Two of the ingots were subjected to T6 heat treatment which consists of solution treatment, water quenching and artificial ageing. After examining microstructure and some mechanical properties of the alloy in both as-cast and in heat treated states, its friction and wear properties were investigated under inadequate and continuous lubrication conditions using a block-on-disk test machine.

It was observed that the microstructure of Zn-40Al-2Cu-2Si alloy consisted of aluminium-rich α , zinc-rich η , copper-rich ϵ and silicon particles. The heat treatment produced fine precipitates in the microstructure but had no considerable effect on the silicon particles. It was also determined that the heat treatment increased the hardness and tensile strength of this alloy.

It was found that under inadequate lubrication condition the friction coefficients of the wear samples of the alloy decreased with increasing pressure up to approximately 3 MPa above which the trend reversed. However the friction coefficients showed irregular variations with speed. It was also observed that the temperature of the wear samples increased with increasing both pressure and speed. Wear loss of the alloy increased exponentially with pressure, but show a linear increase with speed. Above the pressure of 4 MPa the increase in wear loss of the Zn-40Al-2Cu-2Si alloy with speed became exponential.

Under continuous lubrication condition, the friction coefficients of the wear samples decreased with increasing pressure and speed but their temperatures increased with these parameters. It was also found that the wear loss of the alloy samples increased with increasing pressure and running speed. The wear samples of Zn-40Al-2Cu-2Si alloy in either the as-cast and in the heat treated conditions exhibited much superior wear resistance than SAE 660 bronze, especially at pressures above 4 MPa.

As a result this work it was concluded that the T6 heat treatment does not increase only hardness and tensile strength of the Zn-40Al-2Cu-2Si alloy but also increase its friction coefficient, temperature during wear and wear resistance.

Key Words: Zn-40Al-2Cu-2Si alloy, Inadequate lubrication, Continuous lubrication, Friction and Wear.

ŞEKİLLER DİZİNİ

	<u>Sayfa No</u>
Şekil 1. İkili çinko-alüminyum faz diyagramı.....	3
Şekil 2. Üçlü Zn-Al-Cu合金 sisteminin 350°C sıcaklığındaki izotermal kesiti.....	4
Şekil 3. Dörtlü Zn-Al-Cu-Si sisteminde meydana gelen faz dönüşümleri.....	5
Şekil 4. Aşınma deney düzeneğinin şematik resmi.....	16
Şekil 5. Aşınma deney düzeneğinin genel görünümü.....	17
Şekil 6. Aşınma deney düzeneğinde örnek, disk ve yük hücresinin yakından görünümü.....	17
Şekil 7. Yük hücresi kalibrasyon doğrusu.....	18
Şekil 8. Sürtünme ve aşınma deneylerinde kullanılan örneklerin teknik resmi.....	18
Şekil 9. Zn-40Al-2Cu-2Si合金ının dökülmüş durumındaki iç yapısı	19
Şekil 10. Zn-40Al-2Cu-2Si合金ının ıslık işlem görmüş durumındaki iç yapısı	20
Şekil 11. SAE 660 Bronzunun iç yapısı	20
Şekil 12. Çözündürme ve su verme işlemi sonrası 150°C sıcaklıkta yaşlandırılan Zn-40Al-2Cu-Si合金ının sertliğinin yaşlandırma süresine göre değişimini gösteren eğri	21
Şekil 13. Zn-40Al-2Cu-2Si合金ının dökülmüş durumındaki örneklerinden yetersiz yağlama şartlarında, 100 d/dk'lık sabit dönme hızında ve farklı basınçlar altında elde edilen sürtünme katsayısının zamana göre değişimini gösteren eğriler.....	23
Şekil 14. Zn-40Al-2Cu-2Si合金ının dökülmüş durumındaki örneklerinden yetersiz yağlama şartlarında, 100 d/dk'lık sabit dönme hızında ve farklı basınçlar altında elde edilen çalışma sıcaklığının zamana göre değişimini gösteren eğriler.....	23
Şekil 15. Zn-40Al-2Cu-2Si合金ının dökülmüş durumındaki örneklerinden yetersiz yağlama şartlarında, 250 d/dk'lık sabit dönme hızında ve farklı basınçlar altında elde edilen sürtünme katsayısının zamana göre değişimini gösteren eğriler.....	24
Şekil 16. Zn-40Al-2Cu-2Si合金ının dökülmüş durumındaki örneklerinden yetersiz yağlama şartlarında, 250 d/dk'lık sabit dönme hızında ve farklı basınçlar altında elde edilen çalışma sıcaklığının zamana göre değişimini gösteren eğriler.....	24

Şekil 17. Zn-40Al-2Cu-2Si合金の熱処理試験による、不十分な潤滑条件下で、100 d/dk'lik sabit dönme hızında ve farklı basınçlar altında elde edilen sürtünme katsayılarının zamanla göre değişimini gösteren eğriler.....	25
Şekil 18. Zn-40Al-2Cu-2Si合金の熱処理試験による、不十分な潤滑条件下で、100 d/dk'lik sabit dönme hızında ve farklı basınçlar altında elde edilen çalışma sıcaklığının zamanla göre değişimini gösteren eğriler.....	25
Şekil 19. Zn-40Al-2Cu-2Si合金の熱処理試験による、不十分な潤滑条件下で、250 d/dk'lik sabit dönme hızında ve farklı basınçlar altında elde edilen sürtünme katsayısının zamanla göre değişimini gösteren eğriler.....	26
Şekil 20. Zn-40Al-2Cu-2Si合金の熱処理試験による、不十分な潤滑条件下で、250 d/dk'lik sabit dönme hızında ve farklı basınçlar altında elde edilen çalışma sıcaklığının zamanla göre değişimini gösteren eğriler.....	26
Şekil 21. Zn-40Al-2Cu-2Si合金の熱処理試験による、不十分な潤滑条件下で、30 dakikalık süre sonunda elde edilen sürtünme katsayılarının basınçla göre değişimini gösteren eğriler.....	27
Şekil 22. Zn-40Al-2Cu-2Si合金の熱処理試験による、不十分な潤滑条件下で、30 dakikalık süre sonunda elde edilen çalışma sıcaklıklarının basınçla göre değişimini gösteren eğriler.....	27
Şekil 23. Zn-40Al-2Cu-2Si合金の熱処理試験による、不十分な潤滑条件下で、30 dakikalık süre sonunda elde edilen sürtünme katsayılarının hızla göre değişimini gösteren eğriler.....	28
Şekil 24. Zn-40Al-2Cu-2Si合金の熱処理試験による、不十分な潤滑条件下で、30 dakikalık süre sonunda elde edilen çalışma sıcaklıklarının hızla göre değişimini gösteren eğriler.....	28
Şekil 25. Zn-40Al-2Cu-2Si合金の熱処理試験による、不十分な潤滑条件下で、30 dakikalık süre sonunda elde edilen sürtünme katsayısının basınçla göre değişimini gösteren eğriler.....	29
Şekil 26. Zn-40Al-2Cu-2Si合金の熱処理試験による、不十分な潤滑条件下で、30 dakikalık süre sonunda elde edilen çalışma sıcaklıklarının basınçla göre değişimini gösteren eğriler.....	29
Şekil 27. Zn-40Al-2Cu-2Si合金の熱処理試験による、不十分な潤滑条件下で、30 dakikalık süre sonunda elde edilen sürtünme katsayısının hızla göre değişimini gösteren eğriler.....	30
Şekil 28. Zn-40Al-2Cu-2Si合金の熱処理試験による、不十分な潤滑条件下で、30 dakikalık süre sonunda elde edilen çalışma sıcaklıklarının hızla göre değişimini gösteren eğriler.....	30
Şekil 29. Zn-40Al-2Cu-2Si合金の熱処理試験による、不十分な潤滑条件下で、30 dakikalık süre sonunda elde edilen çalışma sıcaklıklarının hızla göre değişimini gösteren eğriler.....	31

Şekil 30. Zn-40Al-2Cu-2Si合金在热处理后的显微组织与样品中体积收缩率随时间变化的图像	32
Şekil 31. Zn-40Al-2Cu-2Si合金在铸造状态下的显微组织与样品中体积收缩率随时间变化的图像	32
Şekil 32. Zn-40Al-2Cu-2Si合金在热处理后的显微组织与样品中体积收缩率随时间变化的图像	33
Şekil 33. Zn-40Al-2Cu-2Si合金在铸造状态下的显微组织与样品中摩擦系数随时间变化的图像	36
Şekil 34. Zn-40Al-2Cu-2Si合金在热处理后的显微组织与样品中摩擦系数随时间变化的图像	36
Şekil 35. Zn-40Al-2Cu-2Si合金在热处理后的显微组织与样品中摩擦系数随时间变化的图像	37
Şekil 36. Zn-40Al-2Cu-2Si合金在热处理后的显微组织与样品中摩擦系数随时间变化的图像	37
Şekil 37. SAE 660黄铜与Zn-40Al-2Cu-2Si合金的摩擦系数随时间变化的图像	38
Şekil 38. SAE 660黄铜与Zn-40Al-2Cu-2Si合金的摩擦系数随时间变化的图像	38
Şekil 39. Zn-40Al-2Cu-2Si合金与SAE 660黄铜的平均摩擦系数随时间变化的图像	39
Şekil 40. Zn-40Al-2Cu-2Si合金与SAE 660黄铜的摩擦系数随时间变化的图像	39
Şekil 41. Zn-40Al-2Cu-2Si合金与SAE 660黄铜的平均摩擦系数随时间变化的图像	40
Şekil 42. Zn-40Al-2Cu-2Si合金与SAE 660黄铜的摩擦系数随时间变化的图像	40
Şekil 43. Zn-40Al-2Cu-2Si合金与SAE 660黄铜的体积收缩率随时间变化的图像	42
Şekil 44. Zn-40Al-2Cu-2Si合金与SAE 660黄铜的体积收缩率随时间变化的图像	42
Şekil 45. 在2 MPa压力下，250 d/dk条件下，Zn-40Al-2Cu-2Si合金在铸造状态下的断口表面形貌	44
Şekil 46. 在6 MPa压力下，100 d/dk条件下，Zn-40Al-2Cu-2Si合金在铸造状态下的断口表面形貌	44

Şekil 47.	6 MPa'lık basınç, 250 d/dk'lık dönme hızı ve yetersiz yağlama durumunda çalışan Zn-40Al-2Cu-2Si合金ının dökülmüş durumdaki örneğinin aşınma yüzeyinin görünümü.....	45
Şekil 48.	2 MPa'lık basınç, 250 d/dk'lık dönme hızı ve yetersiz yağlama durumunda çalışan Zn-40Al-2Cu-2Si合金ının ıslı işlem görmüş durumdaki örneğinin aşınma yüzeyinin görünümü.....	45
Şekil 49.	6 MPa'lık basınç, 100 d/dk'lık dönme hızı ve yetersiz yağlama durumunda çalışan Zn-40Al-2Cu-2Si合金ının ıslı işlem görmüş durumdaki örneğinin aşınma yüzeyinin görünümü.....	46
Şekil 50.	6 MPa'lık basınç, 250 d/dk'lık dönme hızı ve yetersiz yağlama durumunda çalışan Zn-40Al-2Cu-2Si合金ının ıslı işlem görmüş durumdaki örneğinin aşınma yüzeyinin görünümü.....	46
Şekil 51.	Dökülmüş durumdaki Zn-40Al-2Cu-2Si合金ının 2 MPa basınç altında 1 cm ³ /saat yağ debisi ve 250 d/dk dönme hızında deneye tabi tutulan örneğinin aşınma yüzeyinin görünümü.....	47
Şekil 52.	Dökülmüş durumdaki Zn-40Al-2Cu-2Si合金ının 6 MPa basınç altında 1 cm ³ /saat yağ debisi ve 250 d/dk dönme hızında deneye tabi tutulan örneğinin aşınma yüzeyinin görünümü.....	47
Şekil 53.	İslı işlem görmüş Zn-40Al-2Cu-2Si合金ının 2 MPa basınç altında 1 cm ³ /saat yağ debisi ve 250 d/dk dönme hızında deneye tabi tutulan örneğinin aşınma yüzeyinin görünümü.....	48
Şekil 54.	İslı işlem görmüş Zn-40Al-2Cu-2Si合金ının 6 MPa basınç altında 1 cm ³ /saat yağ debisi ve 250 d/dk dönme hızında deneye tabi tutulan örneğinin aşınma yüzeyinin görünümü.....	48
Şekil 55.	2 MPa basınç altında 1 cm ³ /saat'lik yağ debisi ve 250 d/dk dönme hızında deneye tabi tutulan SAE 660 bronzuna ait örneğin aşınma yüzeyinin görünümü.....	49
Şekil 56.	6 MPa basınç altında 1 cm ³ /saat'lik yağ debisi ve 250 d/dk dönme hızında deneye tabi tutulan SAE 660 bronzuna ait örneğin aşınma yüzeyinin görünümü	49

TABLOLAR DİZİNİ

	<u>Sayfa No</u>
Tablo 1. İkili çinko-alüminyum合金 sisteminde meydana gelen faz dönüşümleri.....	3
Tablo 2. Zn-Al-Cu合金 sisteminde meydana gelen katı hal dönüşümleri.....	4
Tablo 3. Çinko esaslı合金alar ve bazı döküm合金larının fiziksel özellikleri....	7
Tablo 4. Çinko esaslı Alloyalar ve bazı döküm Alloylarının mekaniksel özellikleri.....	7
Tablo 5. Zn-40Al-2Cu-2Si合金ının ve SAE 660 bronzunun yoğunluk, sertlik ve çekme dayanımı değerleri.....	21
Tablo 6. Zn-40Al-2Cu-2Si合金ının dökülmüş ve ısıl işlem görmüş durumlarındaki örneklerinde yetersiz yağlama durumunda meydana gelen aşınma kaybı değerleri.....	31
Tablo 7. Zn-40Al-2Cu-2Si合金ımı ve SAE 660 bronzunun $1 \text{ cm}^3/\text{saat}$ yağ debisi, 250 d/dk dönme hızı ve farklı basınçlardaki sürtünme katsayısı ve çalışma sıcaklıklarının sürekli rejim durumundaki değerleri.....	34
Tablo 8. Zn-40Al-2Cu-2Si合金ımı ve SAE 660 bronzunun $1 \text{ cm}^3/\text{saat}$ yağ debisi, 6 MPa basınç ve farklı dönme hızlarındaki sürtünme katsayısı ve çalışma sıcaklıklarının sürekli rejim durumundaki değerleri.....	35
Tablo 9. $1 \text{ cm}^3/\text{saat}$ 'lık yağ debisi ve 250 d/dk 'lık dönme hızında yapılan deneylerde Zn-40Al-2Cu-2Si合金ımı ve SAE 660 bronzunda farklı basınçlarda meydana gelen hacim kaybı değerleri.....	41
Tablo 10. $1 \text{ cm}^3/\text{saat}$ 'lık yağ debisi ve 6 MPa'lık basınç altında yapılan deneylerde Zn-40Al-2Cu-2Si合金ımı ve SAE 660 bronzunda farklı dönme hızlarında meydana gelen hacim kaybı değerleri.....	41

1. GENEL BİLGİLER

1.1. Giriş

Günümüzde çinko esaslı alaşımalar beyaz metal (babbit), bronz, pirinç ve dökme demir gibi geleneksel yatak malzemelerinin yerini almaktadır [1-3]. Yapılan çalışmalar çinko esaslı Alüminyum, bakır ve/veya silisyum içeren alaşımaların geleneksel yatak alaşımlarına göre üstün özelliklere sahip oldukları göstermiştir. Bu üstünlüklerin başında özgül mukavemetlerinin (mukavemet/yoğunluk) yüksek olması, yüksek aşınma dayanımına sahip olmaları, yağ kesilmesi durumunda daha iyi yataklama yapması, düşük sürtünme katsayısına sahip olmaları, üretimlerinin kolay ve ekonomik olması, sert parçacıkları yutma özelliğine sahip olmaları, yüksek sökümleme karakteristikleri nedeni ile sessiz çalışmaları ve aşırı yükleme, yetersiz yağlama ve yüksek hızlı çalışma koşullarında bile ideal tribolojik davranış sergilemeleri gelmektedir [1-6].

Çinko esaslı alaşımalarının bazı dezavantajları da vardır. Şöyled ki, bu alaşımaların ergime sıcaklıklarını düşük olduğundan çalışma sıcaklıkları oldukça sınırlıdır ve özellikle bakır içeren alaşımarda faz dönüşümleri sonucunda boyutsal kararsızlık meydana gelmektedir. Boyutsal kararsızlık problemi alaşımlara ıslı işlem uygulamak veya uygun alaşım elementi katmak suretiyle giderilmeye çalışılmaktadır [1, 7-9].

İlk kez 1920'li yıllarda basınçlı döküm yöntemiyle üretilen ötektoid bileşime sahip çinko-alüminyum alaşımalarının üstün mekanik ve döküm özelliklerine sahip oldukları görülmüştür [10]. İkinci Dünya Savaşı sırasında Almanya'da bakır ve kalay temininde karşılaşılan güçlükler nedeniyle bronzun yerine kullanılmak amacıyla yüksek oranlarda alüminyum ve düşük oranlarda bakır içeren çinko esaslı yatak alaşımaları geliştirilmiştir [3,11,12]. Savaş sonrası, malzeme tedarikinde karşılaşılan zorluklar ortadan kaldırıldından kaymamış yatak üretiminde yeniden geleneksel yatak malzemeleri kullanılmaya başlanılmıştır. Ancak az sayıda olsa da bazı firmalar çinko esaslı alaşımaları üretmeye ve geliştirmeye devam etmişlerdir. 1960'lı yıllarda, ILZRO (International Lead-Zinc Research Organization) adlı kuruluş tarafından %12 ve %16 oranlarında alüminyum içeren ILZRO-12 (ZA-12) ve ILZRO-16 (ZA-16) alaşımaları üretilmiştir. ZA-12 alaşımının kum ve kokil döküm alaşımı olarak çekme ve darbe dayanımlarının yüksek olduğu belirlenmiştir. 1970'li yıllarda ise, Noranda Araştırma Merkezi tarafından ZA-8 ve ZA-27 alaşımaları

geliştirilmiştir [13–15]. Aynı yıllarda, Voest Alpine of Linz adlı firma tarafından %27–70 Al, %60–5 Cu ve %0–5 Si içeren çinko esaslı yatak alaşımıları üretilmiştir. Bunlardan %32 Al ve %5 Cu içeren ve Alzen 305 diye adlandırılan yatak alaşımı, birçok uygulamada bronzun yerine başarılı bir şekilde kullanılmaktadır. Bu alaşımın özellikle yatak sarmalarının meydana geldiği yetersiz yağlama koşullarında bile üstün tribolojik özelliklere sahip olduğu görülmüştür [16,17].

Günümüzde de çinko esaslı alaşımının geliştirilmesine yönelik araştırmalar devam etmektedir. Bu araştırmalar özellikle bu alaşımının kullanımını kısıtlayan faktörlerin ortadan kaldırılması ve bu alaşımardan üretilen yatakların tasarımına yönelik yeni verilerin elde edilmesi yönünde sürdürülmektedir [18–20].

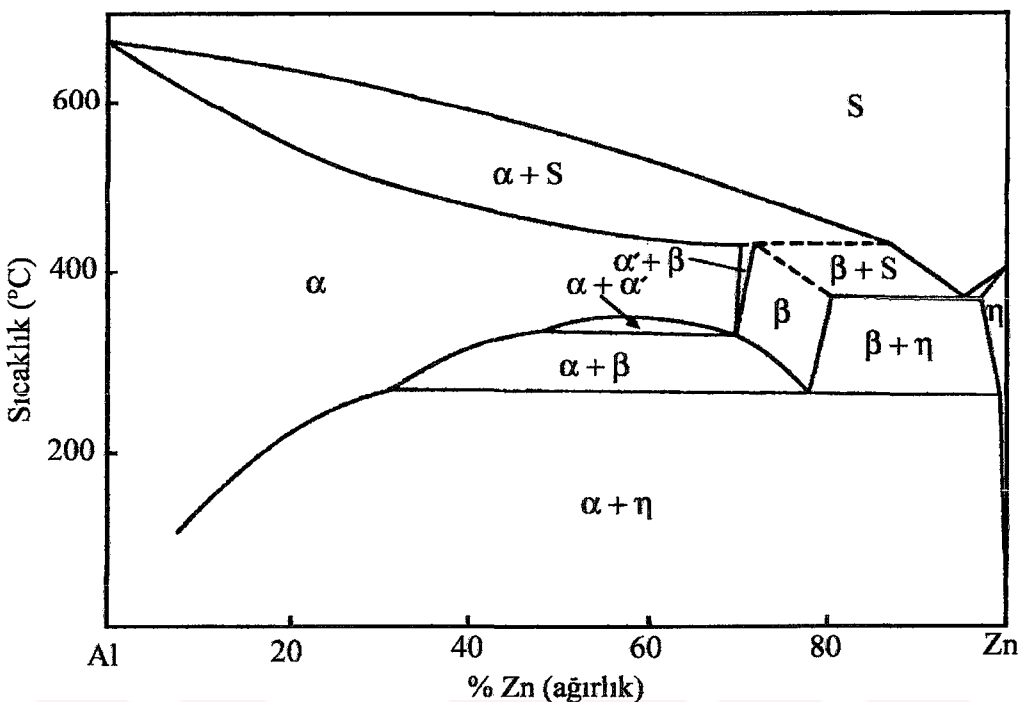
Çinko esaslı alaşımardan üretilen yataklar, daha çok düşük hız ve aşırı yüklemenin söz konusu olduğu uygulamalarda tercih edilmektedir. Nitekim kablolu kren ve taş kırma makinası gibi pek çok iş makinasında, maden işletme araçlarında, vites kutusu ve torna tezgâhi gibi yerlerde bu alaşımardan üretilen yataklar kullanılmaktadır. Bu alaşımardan tek tabakalı kaymalı yataklar imal edilebildiği gibi yatak burçları da üretilmektedir [6,21].

Söz konusu alaşımalar kaymalı yatak üretiminden başka mühendislik amaçlı bazı parçaların üretiminde de kullanılmaktadır. Özellikle otomobillerde kullanılan karburatör parçaları, silindir kapağı, dişli kutusu kapakları, biyel kolu ve jant gibi parçalar bu alaşımardan üretilmektedir [22,23].

1.2. Çinko-Alüminyum Esaslı Alaşımının Faz Diyagramları

1.2.1. İkili Çinko-Alüminyum Faz Diyagramı

İkili çinko-alüminyum faz diyagramı Şekil 1'de verilmiştir. Bu diyagramda yer alan α alüminyumca zengin faz bölgesini, η ise çinkoca zengin faz bölgesini göstermektedir [24]. Diyagramda da görüldüğü gibi alüminyum içerisindeki çinko katı çözeltisi %83 Zn oranına kadar uzanır ve α , α' ve β olarak adlandırılan değişik faz bölgeleri oluşturur. α ve α' fazlarının kafes parametreleri birbirine çok yakın olduğundan bu fazlar arasındaki sınır tam olarak belirlenememiştir. Yavaş soğutma sonucunda bu fazlar kararlı çinko ve alüminyum fazlarına dönüşürler [24,25].



Şekil 1. İkili çinko-alüminyum faz diyagramı [26].

Zn-Al faz diyagramında 382°C sıcaklık ve %95 Zn oranında ötektik dönüşüm meydana gelir. Ötektik dönüşümün meydana gelmesi ile yüzey merkezli kübik (YMK) yapılı β ile sıkı düzenli hegzagonal yapıya sahip η fazlarını içeren bir iç yapı oluşur. Alüminyumun η fazi içindeki katı çözünürlüğü azalan sıcaklıkla azalmakta ve 20°C sıcaklıkta %0,05 Al oranına kadar düşmektedir. β fazı ise 276°C sıcaklıkta %22 Al oranında meydana gelen ötektoit reaksiyon sonucunda α ve η fazlarına dönüştür [26-28].

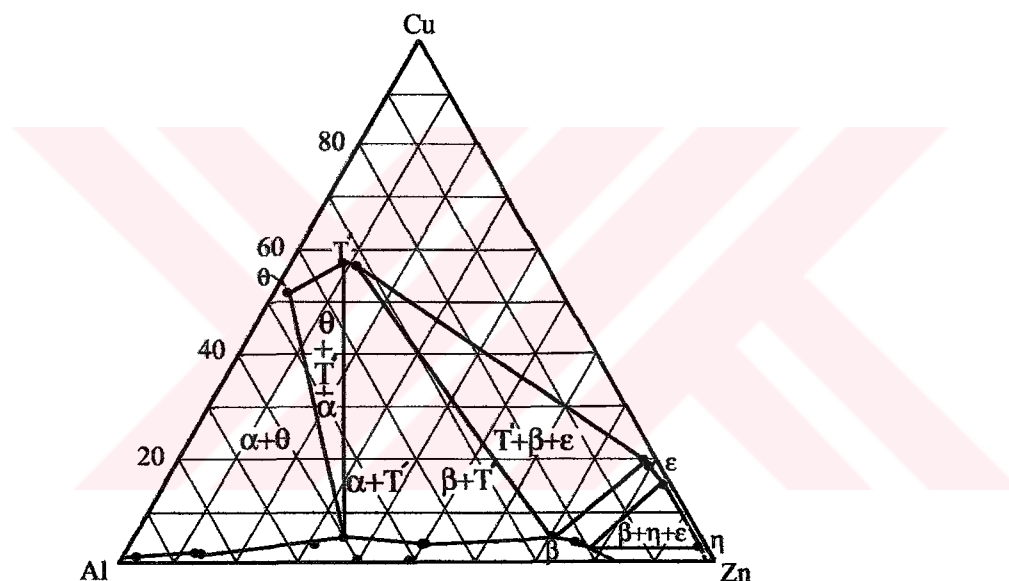
İkili çinko-alüminyum合金 sisteminde meydana gelen faz dönüşümleri, kimyasal bileşim oranı ve sıcaklık değerleri ile birlikte Tablo 1'de verilmiştir.

Tablo 1 İkili çinko-alüminyum合金 sisteminde meydana gelen faz dönüşümleri [24].

Dönüşüm	Dönüşüm formülü	Dönüşüm noktası	
		Çinko oranı (%)	Sıcaklık ($^{\circ}\text{C}$)
Ötektik	$\text{S} \rightleftharpoons \beta + \eta$	95	382
Ötektoit (I)	$\beta \rightleftharpoons \alpha + \eta$	78	276
(II)	$\alpha/\alpha' \rightleftharpoons \alpha + \beta$	52	340
Peritektik	$\alpha + \text{S} \rightleftharpoons \beta$	72	443

1.2.2. Üçlü Zn-Al-Cu Faz Diyagramı

Üçlü Zn-Al-Cu faz diyagramı henüz tam olarak belirlenmemiştir. Ancak, bu diyagramın bakır oranı düşük olan kısmı Murphy [25] tarafından ayrıntılı olarak incelenmiştir. Zn-Al-Cu faz diyagramının 350°C sıcaklığındaki izotermal kesiti Şekil 2'de, bu sistemde meydana gelen katı hal dönüşümleri de Tablo 2'de verilmiştir. Bu tabloda α alüminyumca zengin fazi, β çinkoca zengin fazi, ϵ ($CuZn_4$) kararsız dengeli (metastabil) yapıya sahip olan bakırca zengin fazı ve T' (Al_4Cu_3Zn) sembolü de kararlı yapıya sahip bakırca zengin fazı göstermektedir [8,29-31].



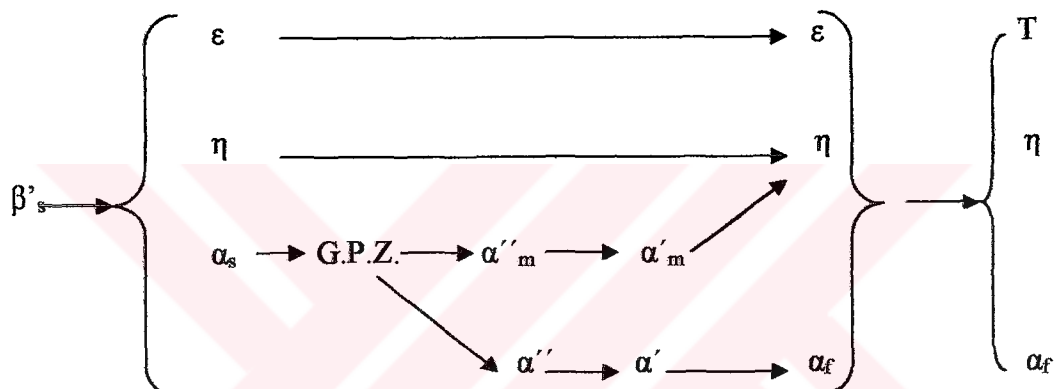
Şekil 2. Üçlü Zn-Al-Cu合金 sisteminin 350°C sıcaklığındaki izotermal kesiti [25].

Tablo 2. Zn-Al-Cu合金 sisteminde meydana gelen katı hal dönüşümleri [24].

Dönüşüm	Dönüşüm Sıcaklığı (°C)
$T' + \beta \rightleftharpoons \alpha + \epsilon$	288
$\beta \rightleftharpoons \alpha + \eta$	275
$\beta + \epsilon \rightleftharpoons \alpha + \eta$	276
$\alpha + \epsilon \rightleftharpoons T' + \eta$	268

1.2.3. Dörtlü Zn-Al-Cu-Si Faz Diyagramı

Dörtlü Zn-Al-Cu-Si faz diyagramı tam olarak belirlenememiştir. Ancak bu sistemdeki bazı faz dönüşümleri birkaç araştırmacı tarafından incelenmiştir [32]. Silisyumun, çinko-alüminyum matrisi içerisindeki çözünürlüğünün çok az olması nedeniyle bu alaşımında meydana gelen faz dönüşümlerini belirgin bir şekilde etkilemediği görülmüştür [32]. Çözündürme ve su verme işlemlerinden sonra yaşlandırılan Zn-20Al-3Cu-2Si alaşımında meydana gelen faz dönüşümleri aşağıda verilmiştir [33].



Şekil 3. Dörtlü Zn-Al-Cu-Si sisteminde meydana gelen faz dönüşümleri [32].

Bu dönüşümler sırasında ilk önce G.P.Z. (Guiner-Preston zones) bölgeleri oluşmaktadır. Su verme işlemi sonunda elde edilen α_s fazı yaşlandırma işlemi sırasında Şekil 3'de görüldüğü gibi α''_m , α'_m , α'' , α' geçiş fazlarını oluşturmaktır ve bu fazlar da en son çinkoca zengin η ve alüminyumca zengin α_f fazlarına dönüşmektedir [33–34].

Silisyum parçacıklarının büyülük ve alaşım içerisindeki dağılımlarının silisyum oranına bağlı olarak değiştiği bilinmektedir [35]. Özellikle yapı içindeki silisyum oranının %2'nin altında olması durumunda silisyum parçacıklarının iç yapida homojen olarak dağıldıkları, %2.'nin üzerine çıkması durumunda ise hem büyütükleri hem de belirli bölgelerde toplanarak kümleştikleri görüldü [35,36]. Bu durum bu alaşımın katılma davranışlarına dayandırılarak açıklanmaktadır [37]. Nitekim son zamanlarda yapılan çalışmalarla dörtlü Zn-Al-Cu-Si alaşımında, %2,5 silisyum oranına kadar silisyum tanelerinin küçük boyutta olup homojen bir şekilde dağıldığı görülmüştür. Silisyum

oranının %2,5'in üzerine çıkması durumunda ise tane büyülüğünün aşırı bir şekilde büyuduğu ve belirli bölgelerde kümelenerek toplandığı görülmüştür [37].

1.3. Çinko Esashı Alaşımaların Özellikleri

1.3.1. Çinko Esashı Alaşımalarının Fiziksel Özellikleri

Çinko esashı alaşımaların fiziksel özellikleri çoğunlukla içerdikleri alüminyum oranına göre değişmektedir [38,39]. Şöyled ki alüminyum oranı arttıkça alaşımaların yoğunlukları düşmekte, buna karşılık ıslık iletkenlik, elektriksel iletkenlik ve ıslık genleşme katsayıları artmaktadır. [2,39]. Bu alaşımaların ergime sıcaklıkları düşük olduğundan ergitme işlemi için daha az enerjiye gereksinim duyulur ve kullanılan kalıp, araç ve gereçlerin ömrüleri daha uzun olur [40,41]. Çinko esashı alaşımalar ile bazı döküm alaşımalarının fiziksel özellikleri Tablo 3'de verilmiştir.

Çinko esashı alaşımaların yoğunluğu geleneksel yatak alaşımalarının yoğunluğundan daha düşüktür [39]. Bu nedenle söz konusu alaşımalar geleneksel yatak alaşımalarından daha yüksek özgül mukavemet değerine sahiptirler [2]. Bu alaşımaların alüminyum oranı arttıkça, yoğunluğu düşmekte ve dolayısıyla birim maliyeti azalmaktadır [3,40].

1.3.2. Çinko Esashı Alaşımaların Mekanik Özellikleri

Çinko esashı alaşımalar demir dışı alaşımaların pek çokundan daha yüksek mukavemet değerine sahiptir [2]. Ancak bu alaşımaların mekanik özellikleri alüminyum oranına göre değişmektedir [38,42]. Monotektoid bileşime sahip çinko esashı alaşımalar, ötektik ve ötektoit bileşime sahip çinko esashı alaşımalarдан daha üstün mekanik özelliklere sahiptir [43,44]. Alaşım elementi olarak katılan alüminyum bu alaşımaların hem döküm özelliğini iyileştirmekte hem de mukavemet değerlerini arttırmaktadır [1,2,42]. Çinko esashı alaşımaların mekanik özellikleri bazı uygulamalar için yetersiz kalmaktadır. Bu yetersizlikleri gidermek için de bu alaşımlara bakır, magnezyum, silisyum, nikel gibi elementler katılmaktadır [37,45,46]. %2 oranındaki bakır katkısı bu alaşımaların mukavemet, korozyon ve aşınma direncini, %2 oranındaki silisyum katkısı ise özellikle aşınma direncini artırmaktadır [35,36,39,47,48].

Tablo 3. Çinko Esaslı Alaşımlar ve Bazı Döküm Alaşımlarının Fiziksel Özellikleri [39].

Alaşım	Yoğunluk (g/cm ³)	Ergime Aralığı (°C)	İsıl Genleşme Katsayısı (μm/m°K)	İsıl İletkenlik (W/m°K)	Elektriksel İletkenlik (%IACS)
ZA-8 Kokil D.	6.3	373–404	23.2	115	27.7
ZA-12 Kokil D.	6.03	377–432	24.1	116	28.3
ZA-27 Kum D.	5.0	375–484	26.0	125.5	29.7
Al. Alaşımı 356-T6	2,69	556–615	21.5	151	39
SAE-40 Pirinci	8.5	855–1010	18	72	15
SAE-660 Bronzu	8.83	855–975	18	59	12
Kır D. D. C30	6.94	1176	12.1	49–52	6

Tablo 4. Çinko Esaslı Alaşımlar ve Bazı Döküm Alaşımlarının Mekanik Özellikleri [2].

Alaşım	Çekme Dayanımı (MPa)	Akma Dayanımı (MPa)	Kopma Uzaması (%)	Young Modülü (GPa)	Brinell Sertlik Değeri (BSD)	Darbe Dayanımı (J)
ZA-8 Kokil D.	221–255	200–214	1–2	85.5	85–90	13–18
ZA-12 Kokil D.	310–345	250–275	1.5–2.5	83	85–95	17–22
ZA-27 Kum D.	400–441	358–393	2–3	-	110–117	25–40
Al. Alaşımı 356-T6	262	186	5	72.4	80	-
SAE-40 Pirinci	255	117	30	83	60	15
SAE-660 Bronzu	240	124	20	100	65	8
Kır D. D. C30	214	124	-	90–113	210	-

Çinko esaslı alaşımaların mukavemetini artırmamanın diğer bir yolu da alaşımlara ıslı işlem uygulamaktır [45]. Ancak karalı bir iç yapı elde etmek için uygulanan stabilizasyon işlemi bu alaşımaların mukavemet ve sertliğini büyük bir ölçüde düşürmeye ve özellikle % 2 bakır oranından daha fazla bakır içeren alaşımlarda boyutsal kararsızlığa neden olmaktadır [8,37,39]. Hem daha kararlı iç yapıyı elde etmek hem de sertlik ve mukavemet değerlerinin artırmak için bu alaşımalar çözündürme ve su verme işlemi sonrası doğal veya yapay olarak yaşlandırılmaktadır [39,48-50]. Bu işlemin sonunda yapı içerisindeki ϵ fazı $\alpha + \epsilon \rightarrow T' + \eta$ dönüşümü ile bakırca zengin T' ve çinkoca zengin η fazlarına dönüşmektedir [26].

Çinko esaslı alaşımaların ergime sıcaklıklarının düşük olmasından dolayı kullanım sıcaklıkları da düşüktür. Sıcaklık arttıkça bu alaşımaların sertlik ve mukavemeti düşerken sünekliği artmaktadır [2,39,51]. Bu nedenle ZA-8 ve ZA-12 alaşımalarının 90°C, ZA-27 alaşımının da 120°C'nin altındaki sıcaklıklarda kullanılması tavsiye edilmektedir [38].

Başka bir çalışmada soğuma hızının artmasıyla bu alaşımaların ikincil dendrit kol aralığının azaldığı ve yoğunluk, sertlik, çekme dayanımı, kopma uzaması ve darbe enerjisi değerlerinin arttığı görülmüştür [52]. Dökülmüş durumda çinko esaslı alaşımalarının mekanik özelliklerinin ikincil dendrit kol aralığına bağlı olduğu görülmüştür [53]. Nitekim ikincil dendrit kol aralığı azaldıkça bu alaşımaların sertlik, çekme mukavemeti, darbe direnci ve kopma uzaması değerlerinin arttığı belirtilmiştir [52–54].

Diğer taraftan bu alaşımaların yorulma dayanımı ve ömrünün artan alüminyum oranı, sertlik ve mukavemet değerleri ile arttığı görülmüştür [42]. Ayrıca alüminyum oranı arttıkça bu alaşımaların kırılma tokluğunun da arttığı görülmüştür [2,38]. İkili çinko alüminyum alaşımalarının sürünenme dirençlerinin pek çok uygulama için yeterli olmadığı bilinmektedir. Ancak başta bakır olmak üzere magnezyum, silisyum ve nikel katklarının bu alaşımaların sürünenme direncini artırdığı belirlenmiştir [55].

1.3.2 Çinko Esaslı Alaşımaların Tribolojik Özellikleri

Yapılan çalışmalar çinko esaslı alaşımaların geleneksel yatak alaşımlarından daha üstün tribolojik özelliklere sahip olduklarını göstermiştir [1,2,49,56]. Bu durum bu alaşımaların iç yapı ve yüzeylerinde oluşan oksit filmine dayandırılarak açıklanmaktadır [57]. Çinko esaslı alaşımlardaki alüminyumca zengin yüzey merkezli kübik yapıya sahip α

fazı yük taşıma görevi yaparken, çinkoca zengin sıkı düzenli hegzagonal yapıya sahip η fazı katı yağlayıcı gibi davranışarak kaymayı kolaylaştırmakta ve sıvanmaya neden olmaktadır [5,58,59]. Bakır içeren çinko esaslı alaşımının yapısında bulunan sert intermetalik bileşiklerin (ϵ , T' ve θ) yük taşıma görevi üstlendikleri ileri sürülmektedir [56,59,60]. Bu alaşımının yapısında bulunan silisyum parçacıklarının ise aşınma direncini artırdığı gözlenmiştir [35-37,61]. Aynı zamanda aşınma yüzeylerinde oluşan sert alüminyum oksit tabakasının yük taşıma görevi yaparken, çinko oksit tabakasının kaymayı kolaylaştırdığı ve özellikle sınır ve karışık yağlama durumlarında yağlayıcı gibi davranışlığı ileri sürülmektedir [21].

Son zamanlarda yapılan çalışmalar sonucunda çinko esaslı bakır ve/veya silisyum içeren alaşımının düşük sürtünme katsayıları ve yüksek aşınma direncine sahip oldukları görülmüştür [35,45,62]. Monotektoid esaslı üçlü Zn-Al-Cu alaşımının sertlik, mukavemet ve aşınma dirençlerinin artan bakır oranı ile artarak %2 bakır oranında en yüksek seviyelere ulaştığı belirlenmiştir [59]. Bu seviyenin üzerinde ise bakır oranı arttıkça sertliğin artmaya devam ettiği, çekme dayanımının azaldığı, aşınma direncinin fazla değişmediği belirlenmiştir [59,62]. Bu durum katı çözelti sertleşmesi ve ϵ fazının oluşumuna dayandırılarak açıklanmaktadır. Şöyleden ki, alüminyumun içerisinde en fazla % 1 oranında bakır çözünebildiğinden bu alaşımının sertlik, mukavemet ve aşınma direnci % 2 bakır oranına kadar katı çözelti sertleşmesi mekanizmasıyla artmaktadır. Bu seviyedeki bakır oranlarında dendritler arası bölgelerde hegzagonal kristal kafes yapısına sahip bakırca zengin ϵ fazı oluşturmaktadır [59,63]. Sertliği yüksek olan ϵ fazı dispersiyon sertleşmesi yoluyla alaşımın genel sertliğini artırmaktadır [63]. Bakır oranı arttıkça ϵ fazının hem oranı hem de boyutu artmakta ve dolayısıyla alüminyumca zengin α fazı içerisindeki bakır oranını azalmaktadır [59,60]. Bu durum katı çözelti sertleşmesi etkisinin azalmasına yol açmaktadır ve bunun sonucunda da alaşımın çekme dayanımı düşmektedir. Sertlikteki artış ise ϵ fazının yüzde oranının artmasından kaynaklanmaktadır. [62]. Bu alaşımının sertliğindeki artış çekme dayanımındaki azalmaya dengelendiğinden aşınma direncinde önemli bir değişme olmamaktadır [59].

Bu alaşımının aşınma yüzeylerinde sıvanma belirtileriyle çiziklere rastlanılmıştır [62,64]. Alaşımının yüzeyinden aşınarak kopan alüminyum ve çinkoca zengin α ve η fazlarını içeren parçacıkların önce mil yüzeyine yaptığı ardından da tekrar yatak yüzeylerine sıvandığı ileri sürülmüştür [3,21,46,61]. Çiziklerin ise yüzeyden kopan sert ϵ

parçacıkları tarafından oluşturulduğu ileri sürülmektedir [59,60]. Bakır oranının artması ile bu çiziklerin genişleyip derinleştiği, sayılarının ise azaldığı belirlenmiştir [60,62]. Bu durum da yüzeyden kopan sert ve parçacıklarının aşınma yüzeyinde abrazif aşınma (kazılma) etkisi yapmasından kaynaklanmaktadır [60,62]. Bu bulgular adhezyon, sivanma ve abrazyonun Zn-Al-Cu alaşımlarının aşınmasında önemli rol oynadıklarını göstermektedir [61,62,64].

Başka bir çalışmada matris yapıları aynı olduğu halde Zn-Al-Si alaşımlarının Zn-Al-Cu alaşımlarından daha üstün tribolojik davranış sergiledikleri görülmüştür [3,48]. Bu durum yapı içerisinde bulunan sert silisyum parçacıklarının aşınma direncini arttırmada T' fazından daha etkili olduğunu göstermektedir [28,61]. Zn-Al-Si alaşımının sertlik, mukavemet ve aşınma direncinin %2 silisyum oranına kadar artan silisyum ile arttığı, bu oranın üzerinde ise bu değerlerin artan silisyum oranı ile azaldıkları belirlenmiştir [35]. Bu durum silisyum parçacıklarının yapı içerisindeki dağılımlarına göre açıklanmaktadır. Şöyle ki çinko esaslı alaşımın içerdiği silisyum oranının %2 veya altında olması durumunda silisyum parçacıklarının iplik şeklini alıp homojen bir dağılım sergilediği görülmüştür [36]. Alaşımın içerisinde bulunan silisyum parçacıklarının sık ve homojen bir şekilde dağılmış olması dislokasyon hareketinin zorlaşmasına neden olmaktadır. Alaşımın matrisinden daha sert olan silisyum parçacıklarının çalışma sırasında yük taşıma görevi yaptığı ileri sürülmektedir [66,67]. Silisyum oranın bu değerin üzerine çıkarılması durumunda silisyum parçacıklarının büyütükleri ve belirli bölgelerde toplanarak kümleştikleri görülmüştür [36,37]. Silisyum parçacıkların arasındaki mesafe azaldıkça bu alaşımın sertlik ve çekme dayanımının arttığı bilinmektedir [37]. Silisyum katkısı alaşımın sertlik ve çekme dayanımlarını artırarak bu alaşımardan üretilen yatakların yük taşıma kapasitesini ve aşınma direncini artırmaktadır [36,37,61,65].

Zn-Al-Si alaşımından alınan aşınma örneklerinin yüzeylerinde sivanma izleri ile çiziklere rastlanılmıştır [36]. Bu alaşımın yapısındaki alüminyum ve çinko zengin fazlar sivanmaya neden olurken, sert silisyum parçacıklarının yüzeyde çiziklerin oluşmasına yol açtığı ileri sürülmüştür. Alaşımlardaki silisyum oranının artmasıyla çiziklerin genişliğinin ve derinliğinin de arttığı görülmüştür [35]. Bu durumda söz konusu alaşımın aşınma davranışlarında abrazyon ve adhezyonun etkili olduğunu göstermektedir [35-37,61].

Çinko esaslı alaşım üzerinde yapılan çalışmalar, bu alaşımın sertlik ve mukavemetini arttırmada bakırın silisyumdan, silisyumun ise aşınma direncini artırmada

bakırдан daha etkili olduğunu göstermiştir [1,3,48,61]. Dörtlü Zn-Al-Cu-Si alaşımalar üzerinde yapılan çalışmalarla ise Zn-40Al-2Cu-2Si bileşimine sahip alaşımın en yüksek sertlik, mukavemet ve aşınma direncine sahip olduğu gözlenmiştir [37,61,65]. Kuru sürtünme şartlarında Zn-40Al-2Cu-1Si alaşımının diğer alaşımlardan daha yüksek aşınma direnci ve düşük sürtünme katsayısı sergilediği görülmüştür [61]. Ancak bu alaşımın farklı hızlarda ve değişik yük altında nasıl bir tribolojik davranış sergilediği ve özellikle yağ kesilmesi durumunda ortaya çıkan yetersiz yağlama durumlarındaki tribolojik özellikleri incelenmemiştir.

1.4. Literatür Özeti ve Çalışmanın Amacı

Yatak malzemelerinden sertlik ve mukavemet değerlerinin yeterli, sürtünme katsayısının düşük ve aşınma direncinin yüksek olması istenir. Bu amaçla son zamanlarda geliştirilen çinko esaslı yatak alaşımları geleneksel yatak alaşımlarının yerine başarılı bir şekilde kullanılmaktadır.

Çinko esaslı üçlü alaşımlardaki bakır ve silisyum oranlarının bu alaşımların yapı ve özelliklerine etkileri ayrıntılı biçimde incelenmiştir. Yapılan araştırmalar sonucunda üçlü Zn-40Al-2Cu alaşımının söz konusu alaşımlar içerisinde en yüksek sertlik ve mukavemet değerlerine, Zn-40Al-2Si alaşımının ise en yüksek aşınma direncine sahip oldukları görülmüştür. Bu durum katı çözelti sertleşmesi, dispersiyon sertleşmesi ve parçacık boyutu ve dağılımı gibi mekanizmalara dayandırılarak açıklanmaktadır.

Bakır, alüminyumun içerisindeki çözünürlüğü %1 civarında olduğundan matris yapısında yer alarak katı çözelti etkisine sebep olmaktadır. Dispersiyon sertleşmesine ise çözünen elementin fazla olmasıyla oluşan bakırca zengin ϵ fazı ve yapı içerisinde homojen dağılmış küçük boyuttaki silisyum parçacıkları neden olmaktadır.

Üçlü Zn-Al-Si alaşımlarının mukavemet değerlerinin bazı uygulamalar için yetersiz olması, hem mukavemet hem de aşınma direci yönünden daha üstün olan dörtlü Zn-Al-Cu-Si alaşımlarının geliştirilmesine neden olmuştur. Bu alaşımlar içerisinde Zn-40Al-2Cu-2Si alaşımının en yüksek sertlik, mukavemet ve aşınma direci sergilediği görülmüştür. Bu durum yapı içerisindeki ϵ ve silisyum parçacıklarının birlikte bulunmasına dayandırılarak açıklanmaktadır. Bu çalışmalar Zn-40Al-2Cu-2Si alaşımının birçok yatak uygulamasında başarılı bir şekilde kullanılacağını göstermektedir. Ancak bu alaşımın değişik çalışma koşullarında (farklı yağlama durumu, farklı basınç ve farklı hız) tribolojik özellikleri

incelenmemiştir. Bu nedenle bu çalışmanın amacı dörtlü Zn-40Al-2Cu-2Si合金ının değişik yük altında, farklı hızlarda ve gerek yetersiz gerekse sürekli yağlama durumlarındaki sürtünme ve aşınma davranışlarını inceleyerek yatak tasarımına yönelik veriler elde etmektir.

2. DENEYSEL ÇALIŞMA

2.1. Alaşımın Üretimi

Bu çalışmada Zn-40Al-2Cu-2Si alaşımına ait dört adet külçe kokil döküm yöntemiyle üretildi. Alaşımın üretiminde yüksek saflikta (%99,99) çinko, ticari saflikta (%99,7) alüminyum, yüksek saflığa sahip (%99,99) elektrolitik bakır ve Al-12Si (Etial-140) alaşımı kullanıldı. Ergitme işlemi elektrikli bir pota fırını içerisinde gerçekleştirildi. Ergitilen alaşım 630°C sıcaklığından oda sıcaklığında bulunan bir çelik kalıba (kokil) dökülkerek katıldı. Üretilen alaşima ait külçelerin ikisi dökülmüş, ikisi de T6 ısıl işlemeye [74] tabi tutulmuş durumda incelendi.

Söz konusu ısıl işlem (T6), alaşima ait örneklerin 375°C sıcaklıkta 24 saat süreyle çözündürme işlemine tabi tutulduktan sonra suda soğutulması ve hemen ardından 150°C sıcaklıkta 2 saat yaşlandırılması suretiyle gerçekleştirildi. Yaşılandırma işlemi sırasında örneklerin sertliği belirli aralıklarla ölçüldü.

2.2. Yapısal İnceleme

İç yapı incelemeleri için gerek dökülmüş ve gerekse ısıl işlem görmüş alaşımından alınan numuneler standart metalografi yöntemiyle hazırlandı ve %5-20'lik nital (%5-20 nitrik asit + % 95-80 etil alkol) içerisinde dağılandı. Metalografik numuneler ışık mikroskopunda incelendi ve iç yapılarını gösteren fotoğraflar çekildi.

Aşınma örneklerinin yüzeyleri ise tarayıcı elektron mikroskopu (SEM) yardımıyla incelendi.

2.3. Alaşımın Fiziksel ve Mekanik Özelliklerinin İncelenmesi

Yoğunluk ölçümü için talaşlı işlemle hazırlanan numunelerin boyutları $\pm 0,001$ mm hassasiyete sahip bir mikrometre yardımıyla ölçüлerek hacimleri hesaplandı. Numunelerin kütlegi ise $\pm 0,01$ mg hassasiyete sahip bir terazide ölçüldü. Kütle değerleri hacim değerlerine bölünerek yoğunluklar belirlendi. Her bir durum için 3 numune kullanıldı.

Sertlik ölçümleri Brinell sertlik ölçme yöntemiyle 62,5 kg'lık yük altında 2,5 mm çapında bilya şeklinde uç kullanılarak yapıldı. Her bir numune üzerinde 5 ölçüm yapılarak elde edilen değerlerin ortalaması alındı.

Gerek dökülmüş, gerekse ısıl işlem görmüş külçelerden talaşlı imalat yöntemi ile 8x40 TS 138 standardına uygun olarak hazırlanan numuneler, $0,25 \text{ mm.s}^{-1}$ 'lik sabit çene hızı veya $5,90 \times 10^{-3} \text{ s}^{-1}$ 'lik ortalama deformasyon hızında çekme deneyine tabi tutuldu. Her iki durum için 3 çekme numunesi kullanıldı. Elde edilen sonuçların ortalaması alınarak her iki durumdaki örneklerin çekme dayanımı ve kopma uzaması değerleri belirlendi.

2.6. Alaşımın Tribolojik Özelliklerinin İncelenmesi

Alaşımın yeterli ve yetersiz yağlama durumundaki tribolojik özelliklerinin incelenmesinde şematik resmi Şekil 4'de verilen blok-halka esaslı deney düzeneği kullanıldı. Deney düzeneği 3kW gücünde bir elektrik motoru, 12 kW gücünde bir hız kontrol ünitesi, mil, disk, örnek tutucusu, yükleme kolu, yağlama sistemi ve sürtünme kuvveti ölçüm sisteminden oluşmaktadır. Deney düzeneğinde kullanılan disk kaymalı yatak ünitesinde kullanılan mili, deney numunesi ise yatağı temsil etmektedir. Çapı 150 mm olan disk, SAE 4140 çeliğinden imal edilmiş ve 55 RSD-C değerine kadar sertleştirilmiştir. Disk, sertleştirme işleminden sonra $\pm 3 \mu\text{m}$ 'lik bir hassasiyetle taşanmıştır. Deney düzeneğinin genel görünümü ve ayrıntılarını gösteren fotoğraflar Şekil 5 ve Şekil 6'da verilmiştir.

Yükleme işlemi yükleme kolu ucuna ağırlık asılarak gerçekleştirilmektedir. Milin devir sayısını kontrol etmek için elektrik devresine monte edilen bir hız kontrol ünitesi kullanılmaktadır. Yağlama işlemi ise yüksek bir yere yerleştirilen bir depodan ince bir hortum yardımıyla alınan yoğun bir debi ayarlayıcısından geçirildikten sonra disk üzerine damlatılmasıyla gerçekleştirilmektedir.

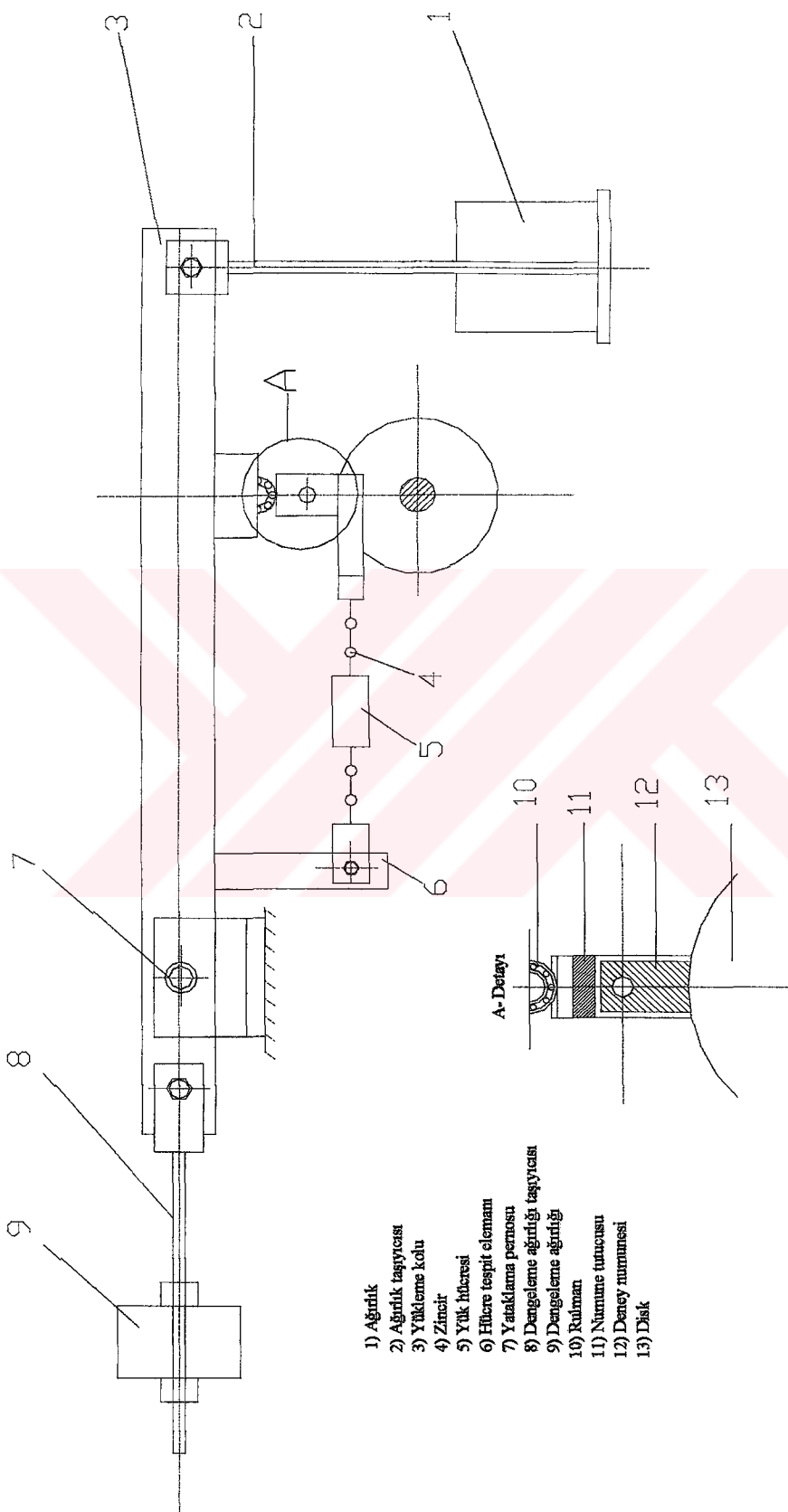
Sürtünme ve aşınma deneylerinde kullanılan örnekler, üretilen alaşımından talaşlı yöntemle hazırlandı. Hazırlanan örneklerin uçları, iç çapı $149,6 \pm 0,05$ mm olan bir kalıpta işlendi. Deney örneklerinin teknik resmi Şekil 8'de verilmiştir.

Bu örnekler sürtünme ve aşınma deneylerine başlamadan önce ve deneyler sonucunda kimyasal çözücüler (triklor etilen ve alkol-aseton) içerisinde ultrasonik temizleyici yardımıyla temizlendi. Kütleleri ise 0,01 mg'lık hassasiyete sahip terazi ile ölçüldü ve yoğunluklarına bölünerek aşınma ile meydana gelen hacim kayipları belirlendi.

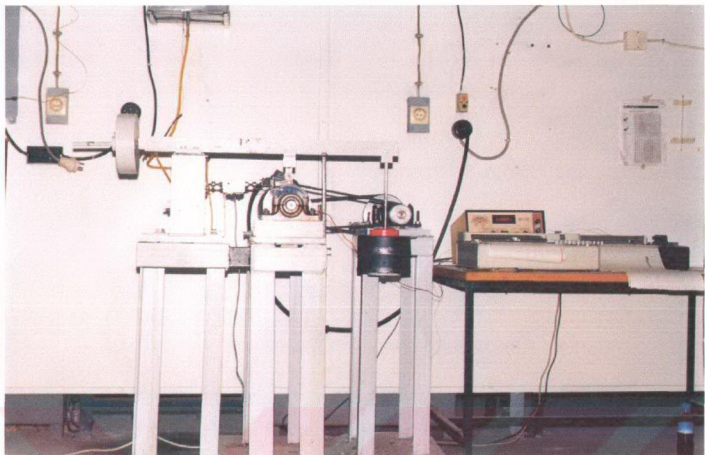
Bu çalışmada sürtünme ve aşınma deneyleri sırasında deney örneklerinin temas yüzeylerinin 1,5 mm yukarısına açılan bir deliğe bakır-nikel termoeleman çifti yerleştirilerek sıcaklıklarını ölçülü ve zamana göre değişimi bir yazıcı ile kaydedildi. Sürtünme kuvvetini ölçmek için 50 kg kapasiteye sahip bir yük hücresi, örnek tutucusu ile düzenleneneki sabit bir mesnet arasına yerleştirildi. Yük hücresinden alınan gerilim, bir yükselticide kuvvetlendirildikten sonra yazıcıya aktarıldı ve sürtünme kuvveti geriliminin zamana göre değişimi kaydedildi. Yük hücresi kalibresi için, ucuna belirli ağırlıklar asılarak gerilim-kuvvet grafiği belirlendi. Bu grafik Şekil 7'de verilmiştir. Ölçülen gerilim değerleri Şekil 7'deki grafik yardımıyla sürtünme kuvvetine çevrildi. Sürtünme kuvveti normal kuvvete bölünerek sürtünme katsayısı bulundu.

Yetersiz yağlama durumunu sağlamak için disk, 1 dakika boyunca $2 \text{ cm}^3/\text{saat}$ yağ debisinde yağlandı. Yağ kesildikten sonra yoğun disk yüzeyine homojen bir şekilde dağılması için disk 5 dakikalık bir süre boyunca boşta çalıştırıldı. Deney numunesi yağ kütlesinin üzerine gelecek şekilde deney düzeneğine yerleştirilerek 30 dakika boyunca sürtünme ve sıcaklık değerleri ölçüldü. Yetersiz yağlama durumlarındaki deneyler 4 farklı hız (100 d/dk , 150 d/dk , 200 d/dk , 250 d/dk) ve 6 farklı yük ($1\text{--}6 \text{ MPa}$) altında gerçekleştirildi.

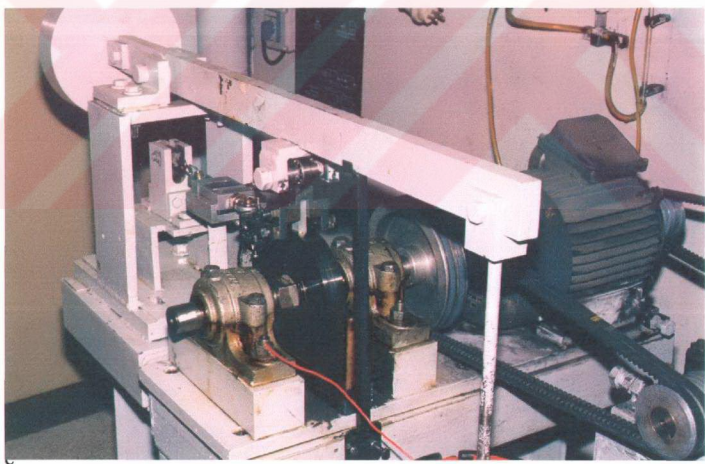
Yeterli yağlama durumunda ise yağ debisi $1 \text{ cm}^3/\text{saat}$ olarak seçildi ve deneyler değişik basınç altında ($1\text{--}6 \text{ MPa}$) ve farklı hızlarda (100 d/dk , 150 d/dk , 200 d/dk , 250 d/dk) 120 dakika süreyle yapıldı. Deneylerde yağlayıcı olarak SAE 20W/50 normuna uygun motor yağı kullanıldı.



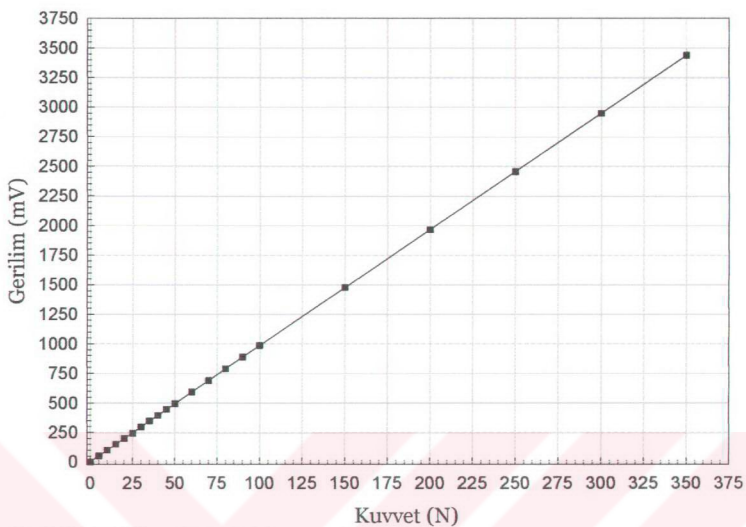
Şekil 4. Aşınma deney düzeneginin şematik resmi.



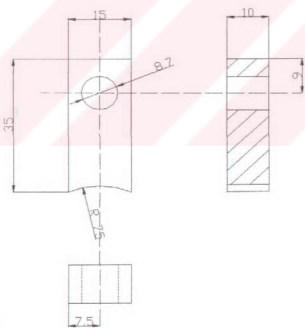
Şekil 5. Aşınma deney düzeneğinin genel görünümü



Şekil 6. Aşınma deney düzeneğinde örnek, disk ve yük hüresinin yakından görünümü.



Şekil 7. Yük Hücresi için kalibrasyon doğrusu.



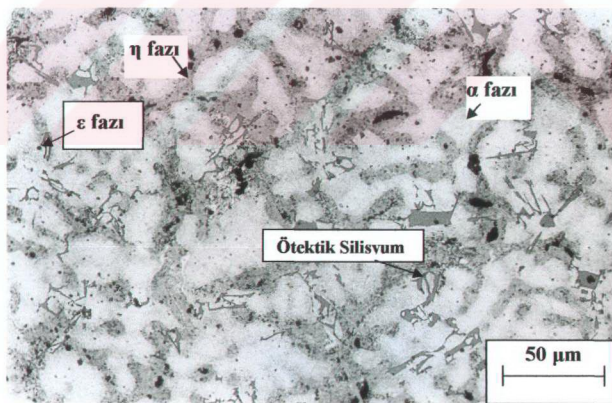
Şekil 8. Sırtınme ve aşınma deneylerinde kullanılan örneklerin teknik resmi.

3. BULGULAR

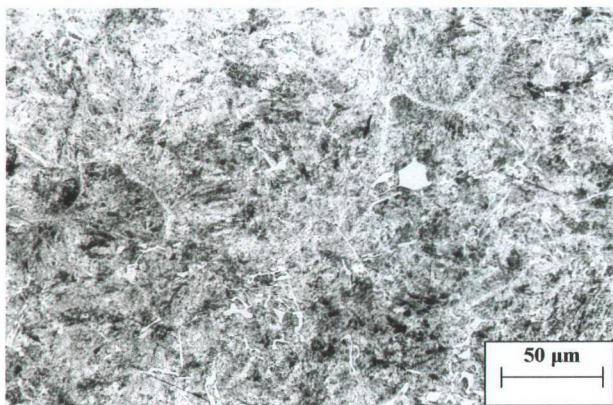
3.1. Alaşımın İç Yapısı

Zn-40Al-2Cu-2Si alaşımının dökülmüş durumdaki iç yapısının, alüminyumca zengin göbekli α fazı ile bu fazı çevreleyen çinkoca zengin η fazı, bakırca zengin ε fazı ve silisyum parçacıklarındanoluştugu gözlandı. Bu yapıyı gösteren optik mikrografi Şekil 9'da verilmiştir. Bu alaşımın ıslı işlem görmüş durumdaki iç yapısının ise ince çökeltiler ve silisyum parçacıklarındanoluştugu görüldü. Bu durum uygulanan ıslı işlemin alaşımın dendritik yapısının tamamen ortadan kalktığını göstermektedir. Bu yapı Şekil 10'daki optik mikrografta görülmektedir.

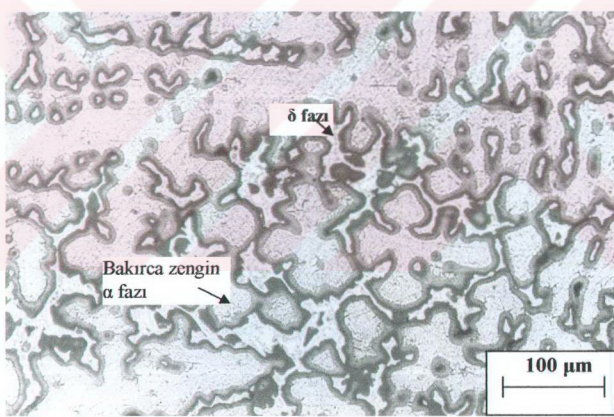
SAE 660 bronzunun iç yapısı ise bakırca zengin α dendritleri ile ötektoid α ve δ fazlarından oluşmaktadır. Bronzun iç yapısını gösteren mikrograf ise Şekil 11'de verilmiştir.



Şekil 9. Zn-40Al-2Cu-2Si alaşımının dökülmüş durumdaki iç yapısı



Şekil 10. Zn-40Al-2Cu-2Si合金ının ıslık işlem görmüş durumda iç yapısı



Şekil 11. SAE 660 Bronzunun iç yapısı

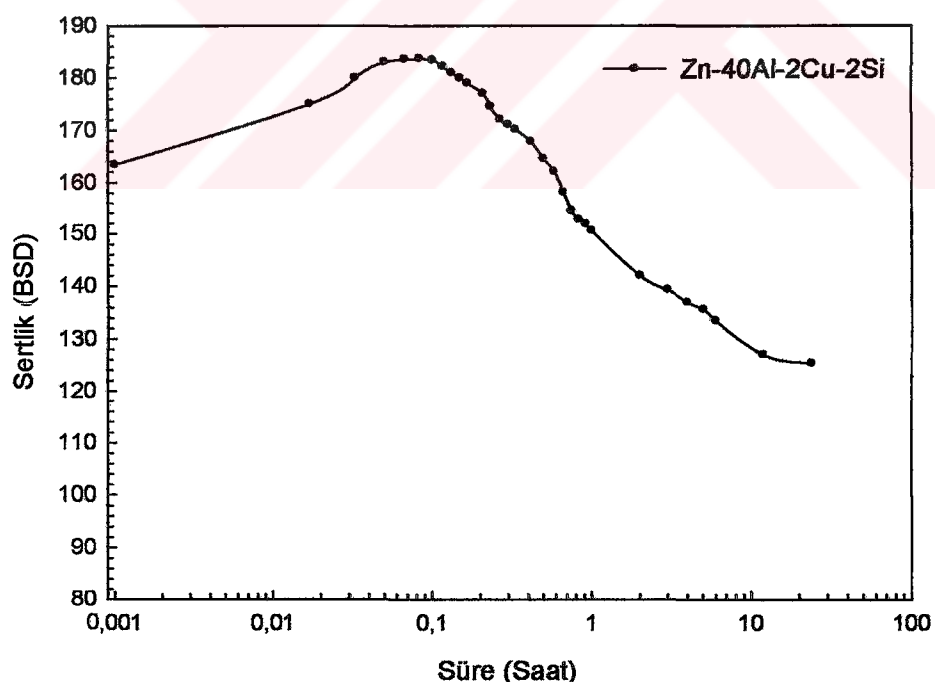
3.2. Fiziksel ve Mekanik Deneylerden Elde Edilen Bulgular

İncelenen Zn-40Al-2Cu-2Si合金ının gerek dökülmüş gerekse ıslık işlem uygulanmış durumlardaki yoğunluk, çekme dayanımı ve sertlik değerleri Tablo 5'de verilmiştir. Ayrıca bu合金ın sertliğinin çözündürme ve su verme işlemi sonrası

uygulanan yaşlandırma işlemi sırasındaki değişimini gösteren eğri Şekil 12'de gösterilmiştir.

Tablo 5. Zn-40Al-2Cu-2Si alaşımının ve SAE 660 bronzunun yoğunluk, sertlik ve çekme dayanımı değerleri.

Alaşım	Yögunluk (kg/m ³)	Sertlik (BSD)	Çekme Dayanımı (MPa)
Zn-40Al-2Cu-2Si (Dökülmüş)	4188	125	378
Zn-40Al-2Cu-2Si (Isıl İşlem Görmüş)	4175	143	431
SAE 660 Bronzu	8780	85	205



Şekil 12. Çözündürme ve su verme işlemi sonrası 150°C sıcaklığında yaşlandırılan Zn-40Al-2Cu-Si alaşımının sertliğinin yaşlandırma süresine göre değişimini gösteren eğri

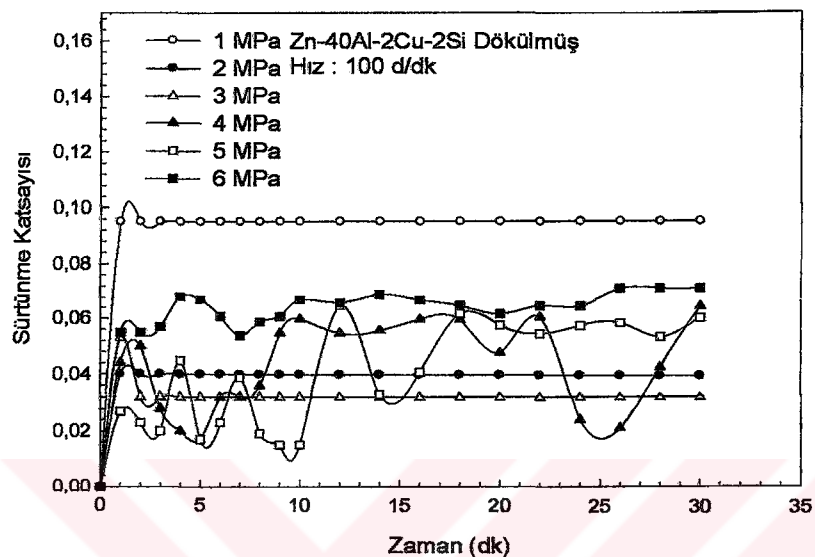
3.3 Sürtünme ve Aşınma Deneylerinden Elde Edilen Bulgular

Zn-40Al-2Cu-2Si合金的铸造件在不同温度下进行热处理，其抗剪强度和硬度随温度变化而变化。在250°C时，抗剪强度最高，为100 MPa，硬度为250 d/dk。在100°C时，抗剪强度为80 MPa，硬度为150 d/dk。在200°C时，抗剪强度为90 MPa，硬度为200 d/dk。在300°C时，抗剪强度为70 MPa，硬度为180 d/dk。在400°C时，抗剪强度为60 MPa，硬度为160 d/dk。在500°C时，抗剪强度为50 MPa，硬度为140 d/dk。在600°C时，抗剪强度为40 MPa，硬度为120 d/dk。在700°C时，抗剪强度为30 MPa，硬度为100 d/dk。在800°C时，抗剪强度为20 MPa，硬度为80 d/dk。在900°C时，抗剪强度为10 MPa，硬度为60 d/dk。

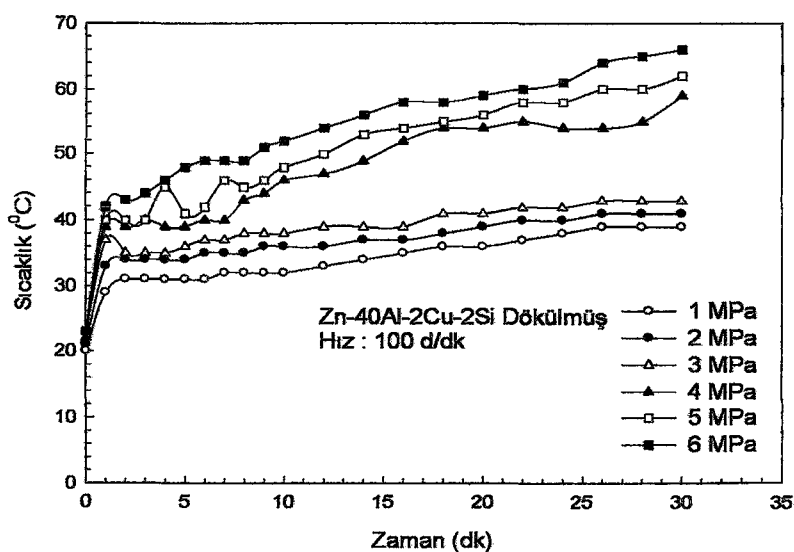
Alaşımın dökülmüş ve ısil işlem görmüş durumdaki örneklerinden 30 dakikalık deney süresi sonunda elde edilen sürtünme katsayıları ve sıcaklıklarının basınç ve hıza göre değişimlerini gösteren eğriler sırasıyla Şekil 21-28'de verilmiştir. Bu eğriler söz konusu alaşımın dökülmüş durumdaki örneklerinden elde edilen sürtünme katsayısı 3 MPa'lık basınçta kadar artan basınç ile azaldığını, bu değerden sonra ise artan basınç ile arttığını göstermektedir. Bu eğriler ayrıca sürtünme katsayısının hız'a göre dalgalı bir değişim sergilediğini, ancak genelde artan hızla arttığını sergilemektedir. Bu eğriliere bakıldığından dökülmüş durumdaki alaşımın çalışma sıcaklığının artan basınç ve hız ile arttığı görülmektedir. Isıl işlem görmüş durumdaki alaşımın sürtünme katsayısının ise 4 MPa'lık basınçta kadar dalgalanma sergilediği, bu değerin üzerindeki basınçlarda ise artan basınç ile arttığı gözlenmektedir. Bu alaşımın çalışma sıcaklığı ise 4 MPa'lık basınçta kadar kararlı bir şekilde, bu değerden sonra ise artan basınç ile hızlı bir artış sergilemektedir. Isıl işlem görmüş alaşımın sürtünme katsayısı hız'a göre düzensiz bir dağılım sergilemeye, sıcaklığı ise artan hız ile artmaktadır.

Yetersiz yağlama durumunda söz konusu alaşımda meydana gelen hacim kayıpları Tablo 6'da, hacim kaybının basınç ve hız'a göre değişimini gösteren eğriler ise Şekil 29-32'de verilmiştir. Bu eğriler yetersiz yağlama durumunda meydana gelen hacim kaybının 4 MPa'a kadar artan basınçla önemli bir değişim sergilemediği, bu değerden sonra ise genelde artan basınç ile hızlı bir şekilde arttığını göstermektedir. Diğer taraftan alaşımdan

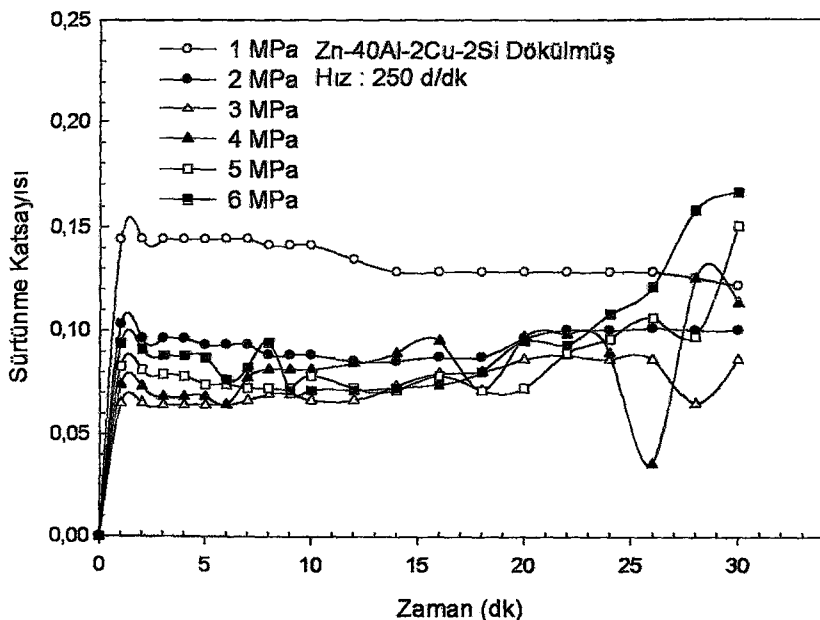
her iki durumda (dökülmüş ve ıslı işlem görmüş) elde edilen hacim kaybı düşük basınçlarda hız ile fazla değişmemekte, ancak 5 ve 6 MPa'lık basınçlarda exponansiyel olarak artmaktadır.



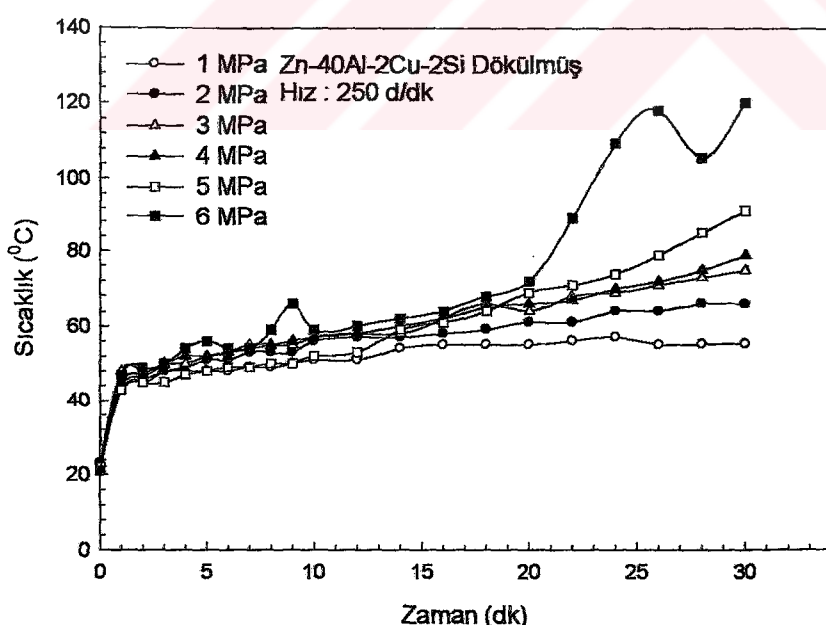
Şekil 13. Zn-40Al-2Cu-2Si alaşımının dökülmüş durumındaki örneklerinden yetersiz yağlama şartlarında, 100 d/dk'lık sabit dönme hızında ve farklı basınçlar altında elde edilen sürtünme katsayısının zamana göre değişimini gösteren eğriler.



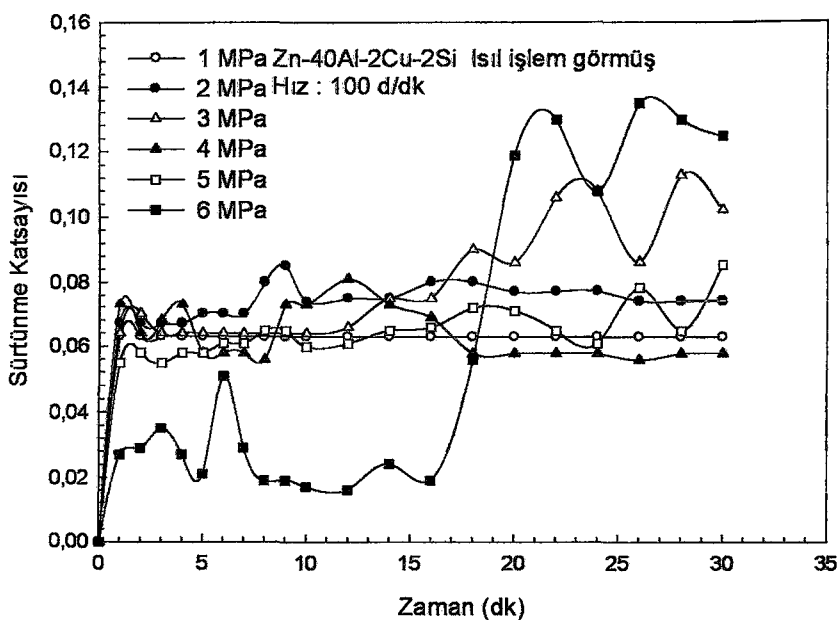
Şekil 14. Zn-40Al-2Cu-2Si alaşımının dökülmüş durumındaki örneklerinden yetersiz yağlama şartlarında, 100 d/dk'lık sabit dönme hızında ve farklı basınçlar altında elde edilen çalışma sıcaklığının zamana göre değişimini gösteren eğriler.



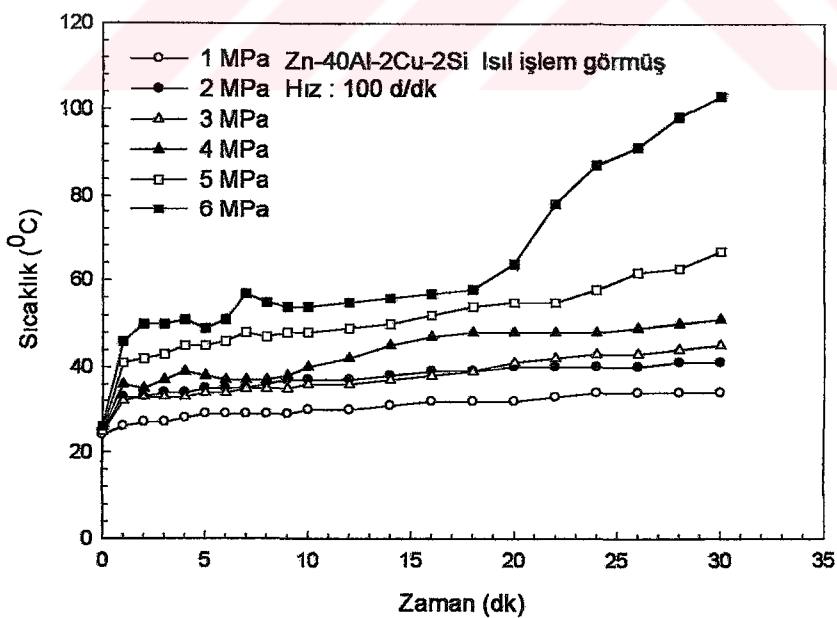
Şekil 15. Zn-40Al-2Cu-2Si合金ının dökülmüş durumındaki örneklerinden yetersiz yağlama şartlarında, 250 d/dk'lık sabit dönme hızında ve farklı basınçlar altında elde edilen sürtünme katsayısının zamana göre değişimini gösteren eğriler.



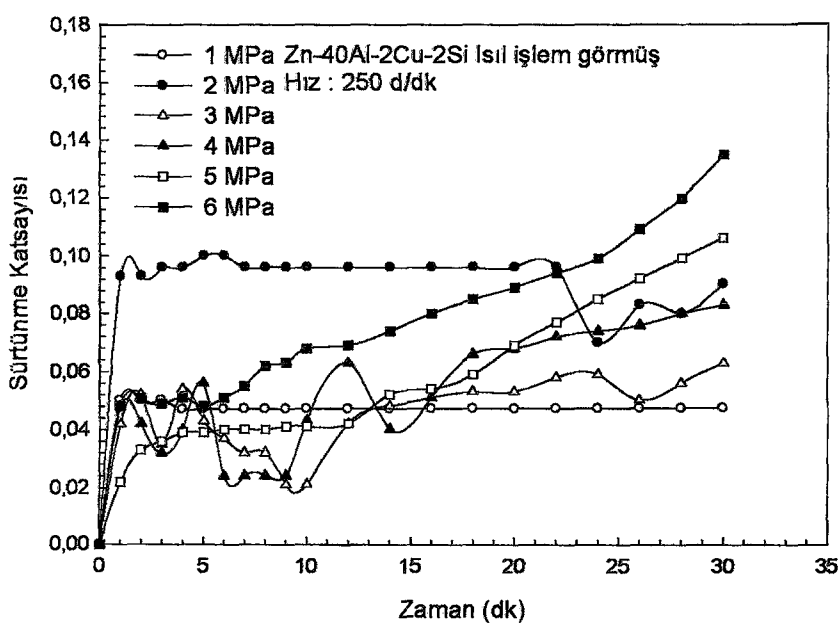
Şekil 16. Zn-40Al-2Cu-2Si合金ının dökülmüş durumındaki örneklerinden yetersiz yağlama şartlarında, 250 d/dk'lık sabit dönme hızında ve farklı basınçlar altında elde edilen çalışma sıcaklığının zamana göre değişimini gösteren eğriler.



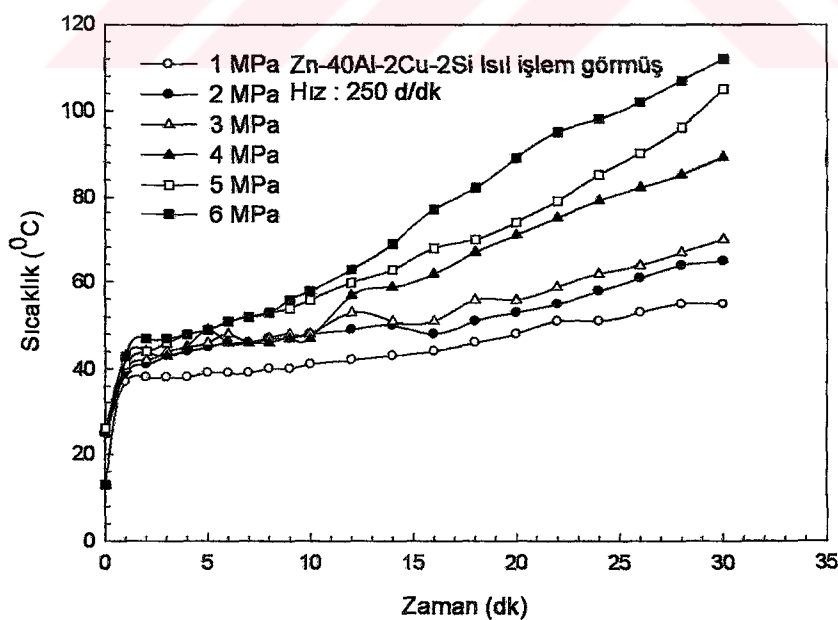
Şekil 17. Zn-40Al-2Cu-2Si合金ının ıslı işlem görmüş durumındaki örneklerinden yetersiz yağlama şartlarında, 100 d/dk'lık sabit dönme hızında ve farklı basınçlar altında elde edilen sürtünme katsayısının zamana göre değişimini gösteren eğriler.



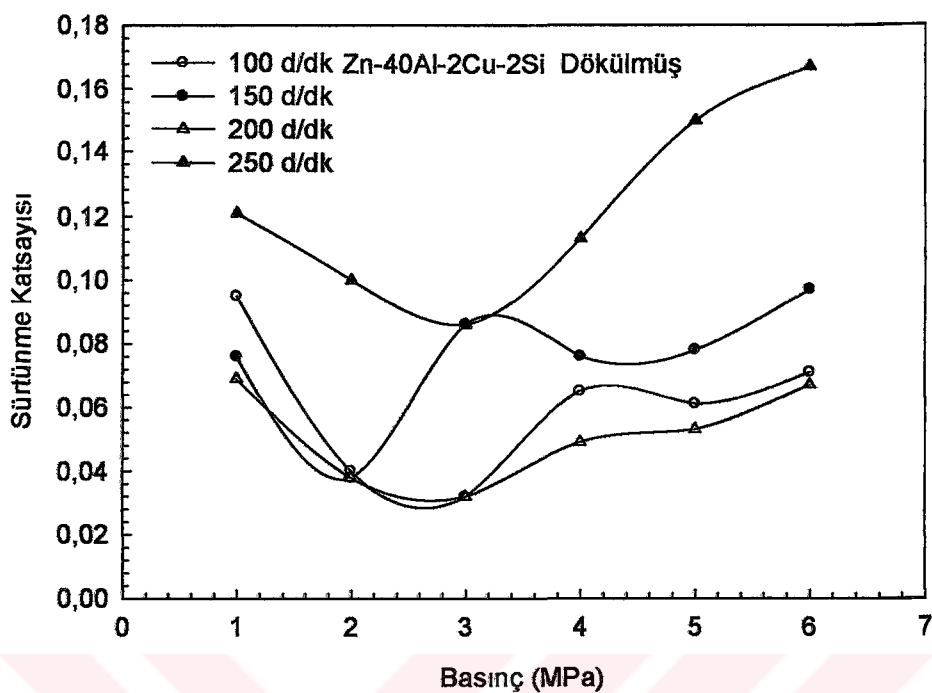
Şekil 18. Zn-40Al-2Cu-2Si合金ının ıslı işlem görmüş durumındaki örneklerinden yetersiz yağlama şartlarında, 100 d/dk'lık sabit dönme hızında ve farklı basınçlar altında elde edilen çalışma sıcaklığının zamana göre değişimini gösteren eğriler.



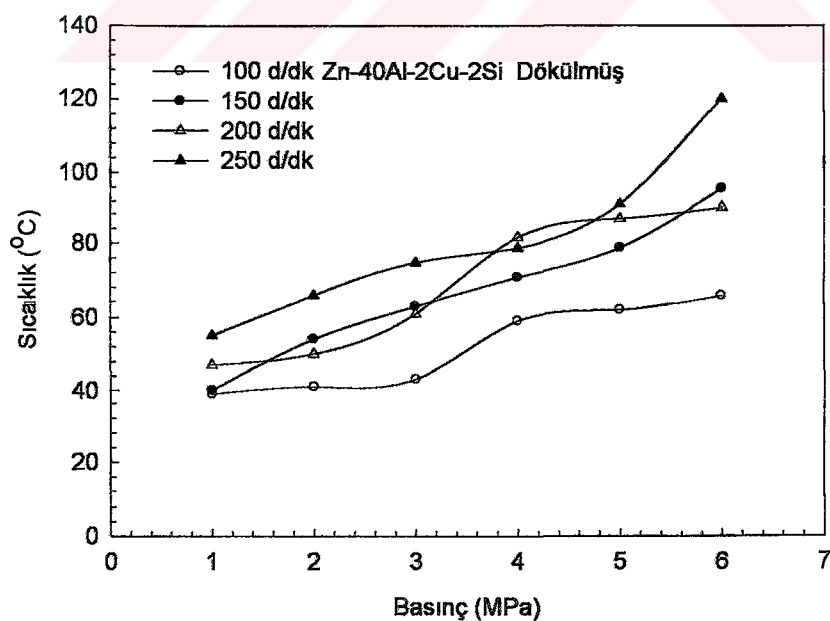
Şekil 19. Zn-40Al-2Cu-2Si合金在不同压力下的摩擦系数随时间变化图。图中展示了六条数据曲线，对应不同的压力值：1 MPa (空心圆圈)、2 MPa (实心圆点)、3 MPa (空心三角)、4 MPa (实心三角)、5 MPa (空心正方形)和6 MPa (实心正方形)。所有曲线均显示摩擦系数在初始阶段迅速增加，随后趋于稳定或继续缓慢上升。随着压力的增加，摩擦系数普遍较高且上升趋势更为明显。



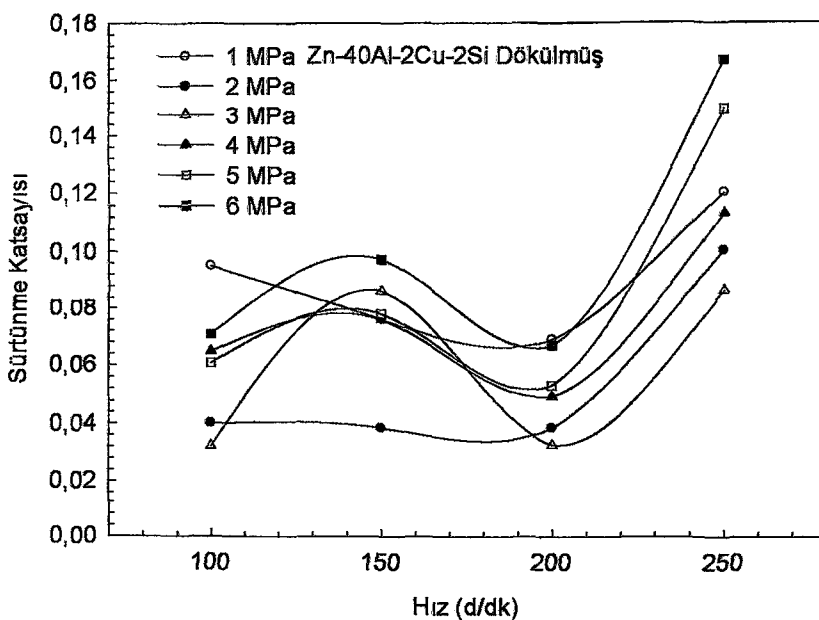
Şekil 20. Zn-40Al-2Cu-2Si合金在不同压力下的温度随时间变化图。图中展示了六条数据曲线，对应不同的压力值：1 MPa (空心圆圈)、2 MPa (实心圆点)、3 MPa (空心三角)、4 MPa (实心三角)、5 MPa (空心正方形)和6 MPa (实心正方形)。所有曲线均显示温度在初始阶段迅速增加，随后趋于稳定或继续缓慢上升。随着压力的增加，温度普遍较高且上升趋势更为明显。



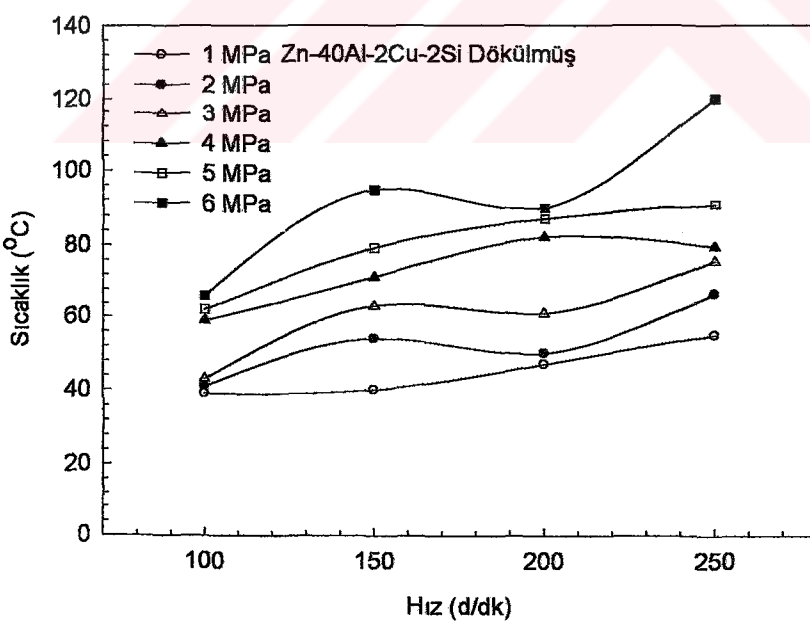
Şekil 21. Zn-40Al-2Cu-2Si alaşımının dökülmüş durumda örneklerinden yetersiz yağlama şartlarında, 30 dakikalık süre sonunda elde edilen sürtünme katsayılarının basınçla göre değişimini gösteren eğriler.



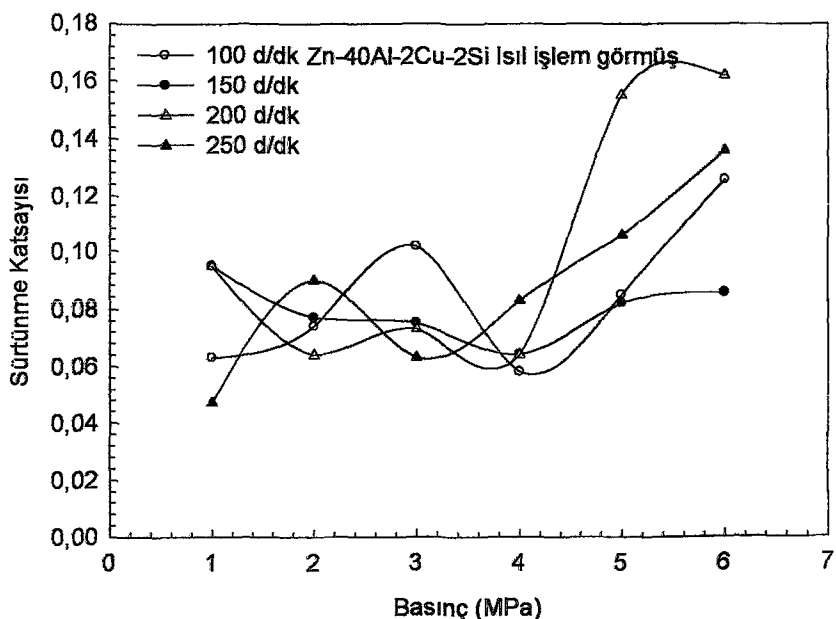
Şekil 22. Zn-40Al-2Cu-2Si alaşımının dökülmüş durumda örneklerinden yetersiz yağlama şartlarında, 30 dakikalık süre sonunda elde edilen çalışma sıcaklıklarının basınçla göre değişimini gösteren eğriler.



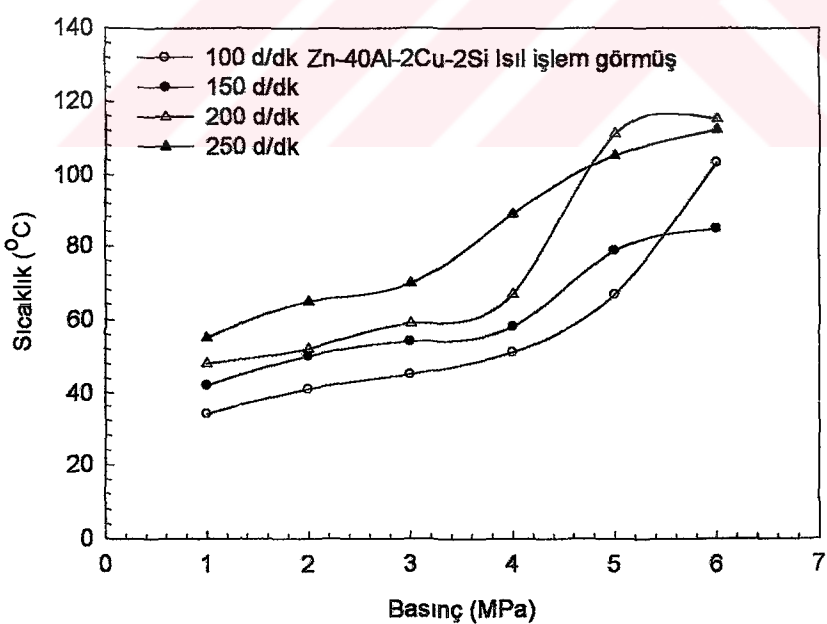
Şekil 23. Zn-40Al-2Cu-2Si合金の鋳造状態の試験片における十分な潤滑条件のない場合、30分間の後得られた摩擦係数の速度による変化を示すグラフ。



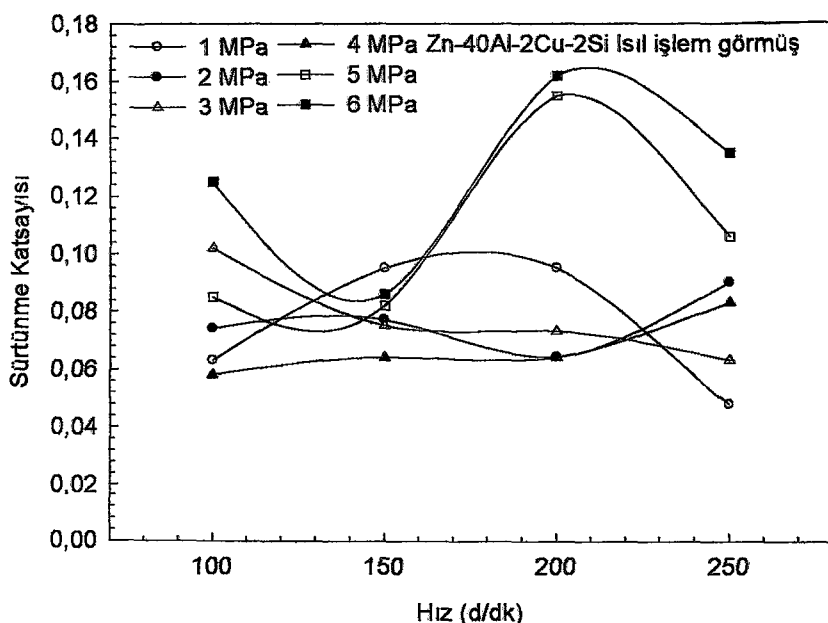
Şekil 24. Zn-40Al-2Cu-2Si合金の鋳造状態の試験片における十分な潤滑条件のない場合、30分間の後得られた作業温度の速度による変化を示すグラフ。



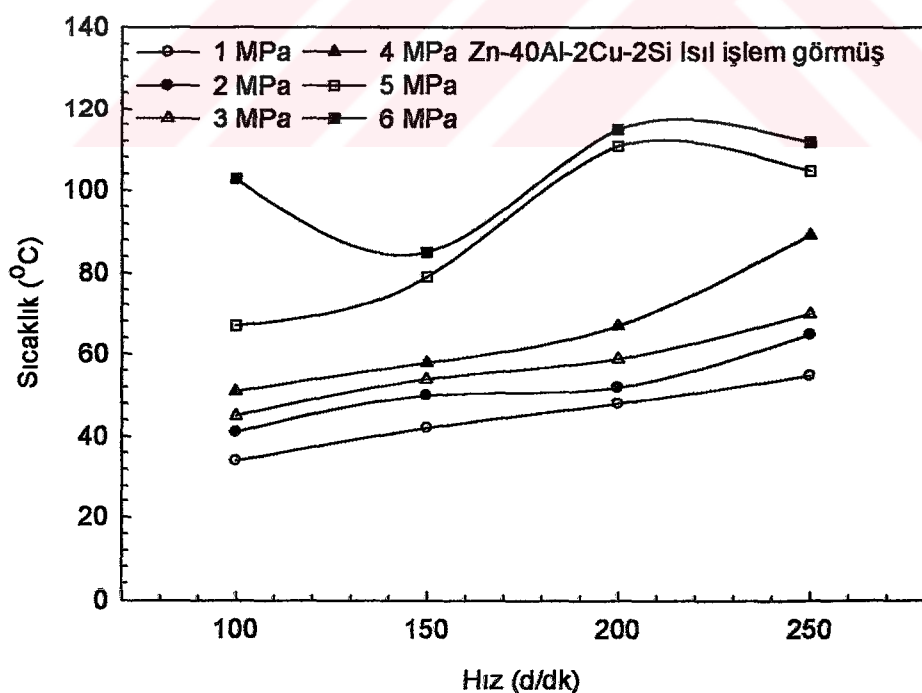
Şekil 25. Zn-40Al-2Cu-2Si合金ının ıslı işlem görmüş durumındaki örneklerinden yetersiz yağlama şartlarında, 30 dakikalık süre sonunda elde edilen sürtünme katsayılarının basınçla göre değişimini gösteren eğriler



Şekil 26. Zn-40Al-2Cu-2Si合金ının ıslı işlem görmüş durumındaki örneklerinden yetersiz yağlama şartlarında, 30 dakikalık süre sonunda elde edilen çalışma sıcaklıklarının basınçla göre değişimini gösteren eğriler



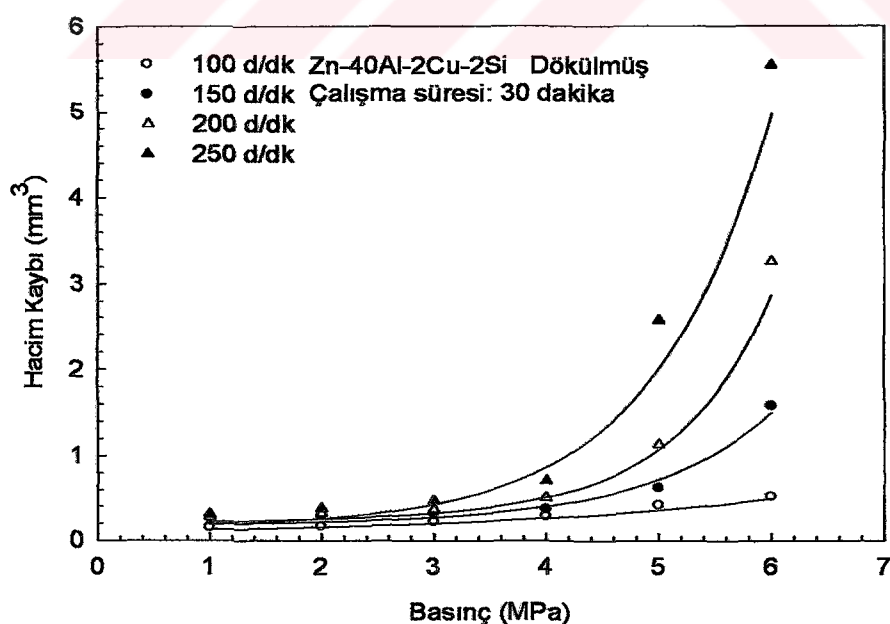
Şekil 27. Zn-40Al-2Cu-2Si合金ının ısıl işlem görmüş durumındaki örneklerinden yetersiz yağlama şartlarında, 30 dakikalık süre sonunda elde edilen sürtünme katsayılarının hız'a göre değişimini gösteren eğriler



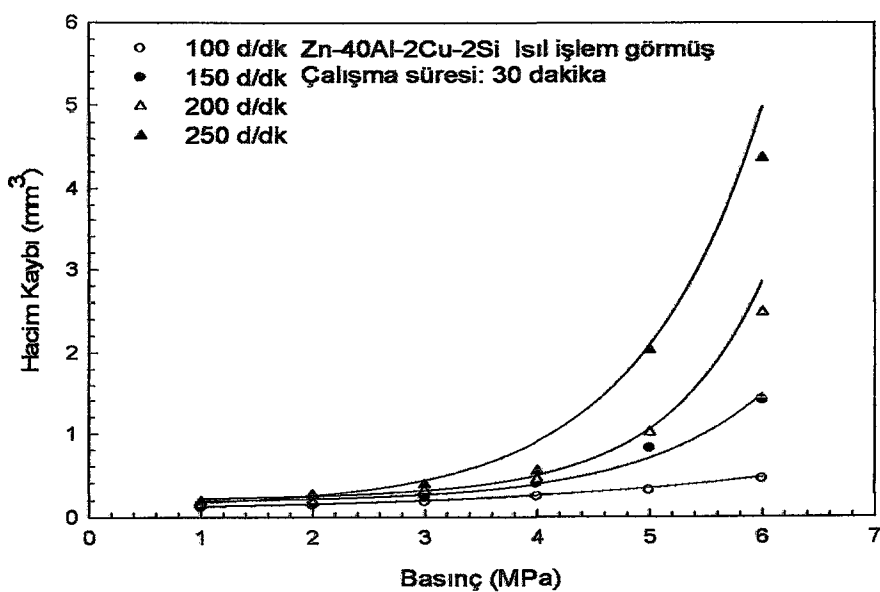
Şekil 28. Zn-40Al-2Cu-2Si合金ının ısıl işlem görmüş durumındaki örneklerinden yetersiz yağlama şartlarında, 30 dakikalık süre sonunda elde edilen çalışma sıcaklıklarının hız'a göre değişimini gösteren eğriler

Tablo 6. Zn-40Al-2Cu-2Si alaşımının dökülmüş ve ıslı işlem görmüş durumlarındaki örneklerinde yetersiz yağlama durumunda meydana gelen aşınma kaybı değerleri.

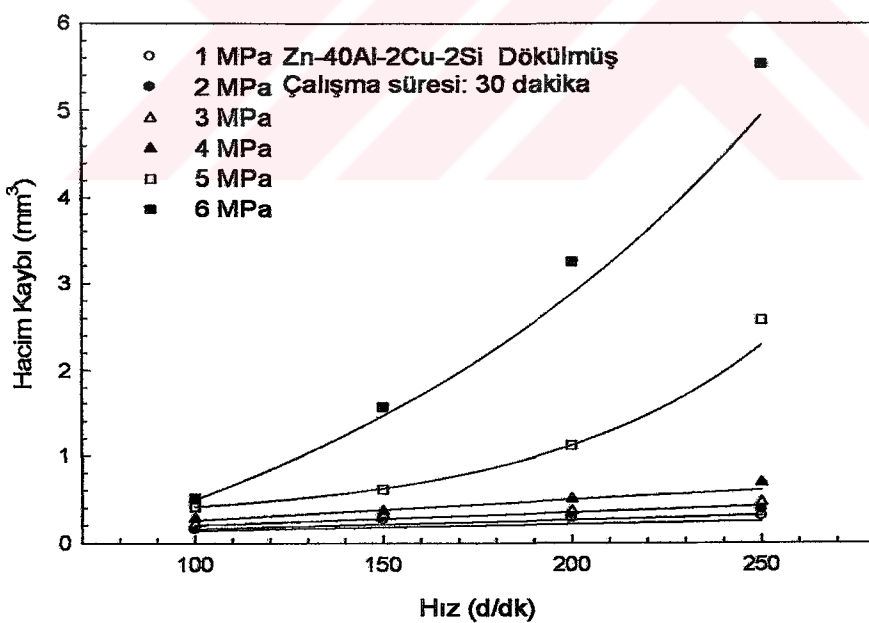
Alaşım	Basınç (MPa)	Çalışma Hızı (d/dk)			
		100	150	200	250
Dökülmüş Durum (mm ³)	1	0,153	0,263	0,281	0,303
	2	0,165	0,287	0,321	0,375
	3	0,220	0,320	0,365	0,463
	4	0,280	0,364	0,502	0,699
	5	0,410	0,617	1,125	2,571
	6	0,512	1,569	3,252	5,540
Isıl İşlem Görmüş Durum (mm ³)	1	0,112	0,124	0,150	0,186
	2	0,142	0,158	0,181	0,265
	3	0,180	0,240	0,320	0,392
	4	0,244	0,403	0,460	0,556
	5	0,320	0,829	1,023	2,015
	6	0,462	1,412	2,465	4,343



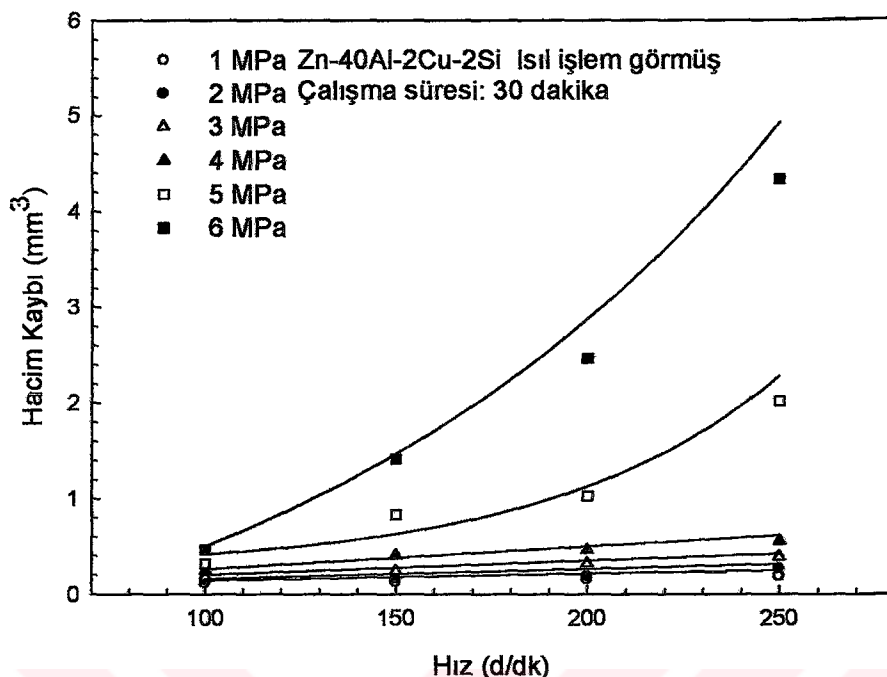
Şekil 29. Zn-40Al-2Cu-2Si alaşımının dökülmüş durumındaki örneklerinden yetersiz yağlama durumlarında elde edilen hacim kaybının basınçla göre değişimini gösteren eğriler.



Şekil 30. Zn-40Al-2Cu-2Si合金ının ıslık işlem görmüş durumındaki örneklerinden yetersiz yağlama durumlarında elde edilen hacim kaybının basınçla göre değişimini gösteren eğriler.



Şekil 31. Zn-40Al-2Cu-2Si合金ının dökülmüş durumındaki örneklerinden yetersiz yağlama durumlarında elde edilen hacim kaybının hız'a göre değişimini gösteren eğriler.



Şekil 32. Zn-40Al-2Cu-2Si alaşımının isıl işlem görmüş durumdaki örneklerinden yetersiz yağlama durumlarında elde edilen hacim kaybının hız'a göre değişimini gösteren eğriler.

Zn-40Al-2Cu-2Si alaşımının ve SAE 660 bronzundan alınan örneklerden $1 \text{ cm}^3/\text{saat}$ yağ debisi ile sürekli yağlama durumunda elde edilen sürtünme katsayısı ve sıcaklık değerlerinin deney süresine göre değişimlerini gösteren eğrilerden bazıları sırasıyla Şekil 32-37'de verilmiştir. Bu alaşımların sürekli rejim durumundaki sürtünme katsayısı ve sıcaklık değerleri Tablo 7-8'de, bu değerlerin uygulanan basınç ve hız'a göre değişimlerini gösteren eğriler ise Şekil 38-41'de verilmiştir. Bu eğrilerde görüldüğü gibi sürtünme katsayısı çalışmanın başlangıç aşamasında hızlı bir şekilde artarak en yüksek değerlerine ulaşmakta ve daha sonra azalarak yaklaşık 30 dakikalık bir süre sonunda sabit değerlere erişmektedir. Sıcaklıklar ise yine başlangıç aşamasında hızlı bir artış sergiledikten sonra artış hızı gittikçe düşerek ortalama 30 dakikalık bir süre sonra sabit değerlere ulaşmaktadır.

Diğer taraftan Zn-40Al-2Cu-2Si alaşımının ve bronzun sürtünme katsayısı değerleri artan basınç ve hız ile azalmakta, sıcaklık değerleri ise söz konusu parametreler ile genelde artmaktadır.

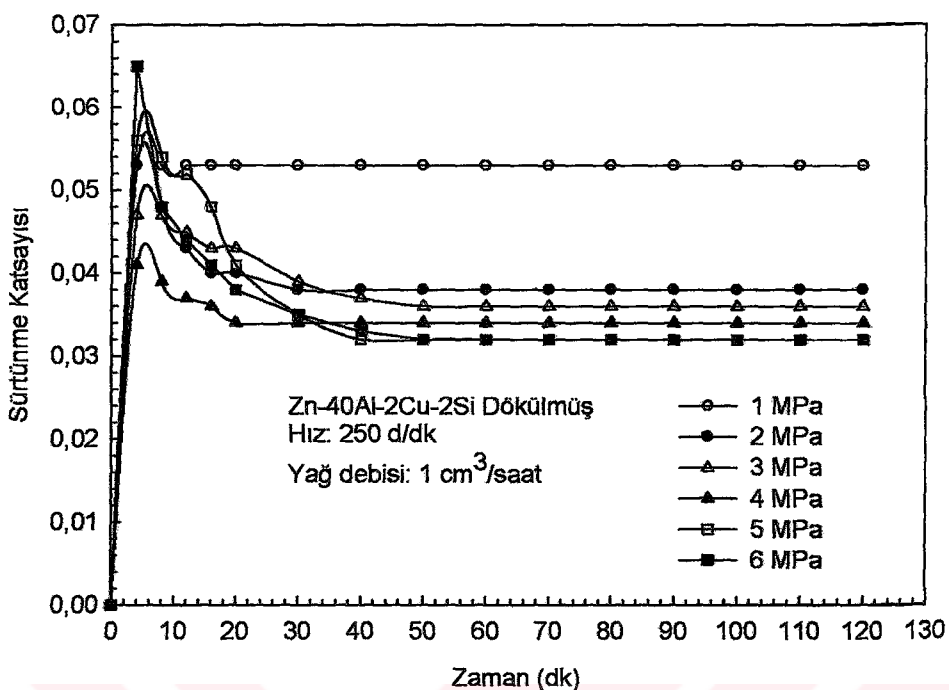
Tablo 7. Zn-40Al-2Cu-2Si合金和SAE 660黄铜在1 cm³/saat油脂流量，250 d/dk旋转速度下，不同压强下的摩擦系数和不同工作温度下的摩擦系数。

Alaşım	Basınç (MPa)	Sürtünme Katsayısı	Çalışma Sıcaklığı (°C)
Zn-40Al-2Cu-2Si (Dökülmüş)	1	0,053	31
	2	0,038	32
	3	0,036	38
	4	0,034	48
	5	0,032	50
	6	0,032	62
Zn-40Al-2Cu-2Si (Isıl İşlem Görmüş)	1	0,063	31
	2	0,048	40
	3	0,052	50
	4	0,042	52
	5	0,035	55
	6	0,039	66
SAE 660 Bronzu	1	0,050	42
	2	0,040	47
	3	0,034	52
	4	0,034	53
	5	0,027	62
	6	0,022	70

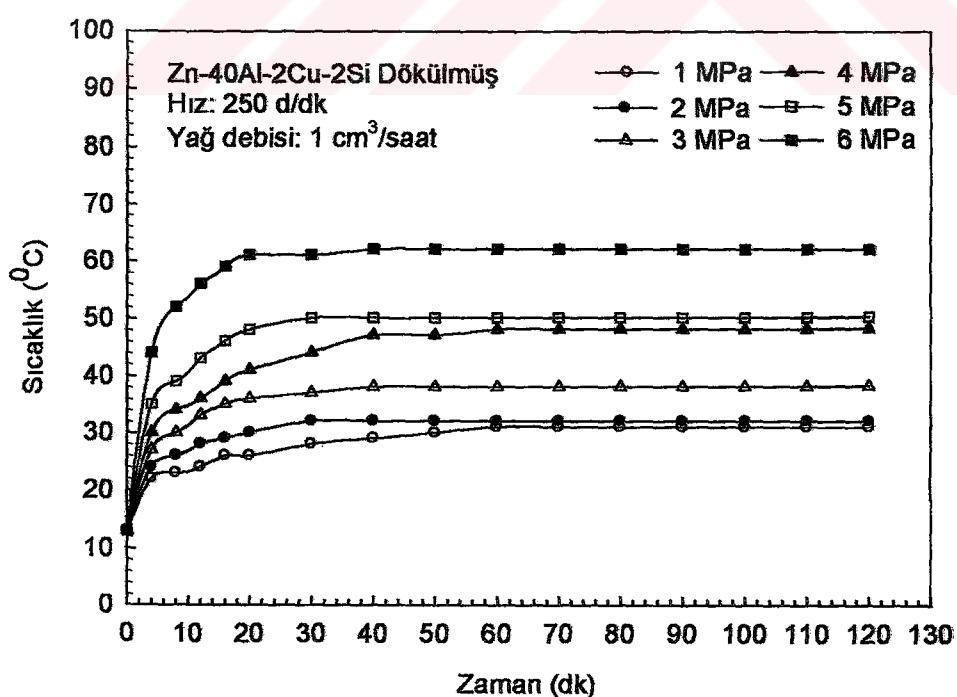
Tablo 8. Zn-40Al-2Cu-2Si合金和SAE 660黄铜在1 cm³/saat油脂摩擦系数、6 MPa压强和不同摩擦速度下的摩擦系数以及工作温度下的摩擦系数。

Alaşım	Dönme Hızı (d/dk)	Sürtünme Katsayısı	Çalışma Sıcaklığı (°C)
Zn-40Al-2Cu-2Si (Dökülmüş)	100	0,054	48
	150	0,043	54
	200	0,041	59
	250	0,032	62
Zn-40Al-2Cu-2Si (Isıl İşlem Görmüş)	100	0,061	52
	150	0,046	57
	200	0,047	63
	250	0,039	66
SAE 660 Bronzu	100	0,033	55
	150	0,034	58
	200	0,036	65
	250	0,022	70

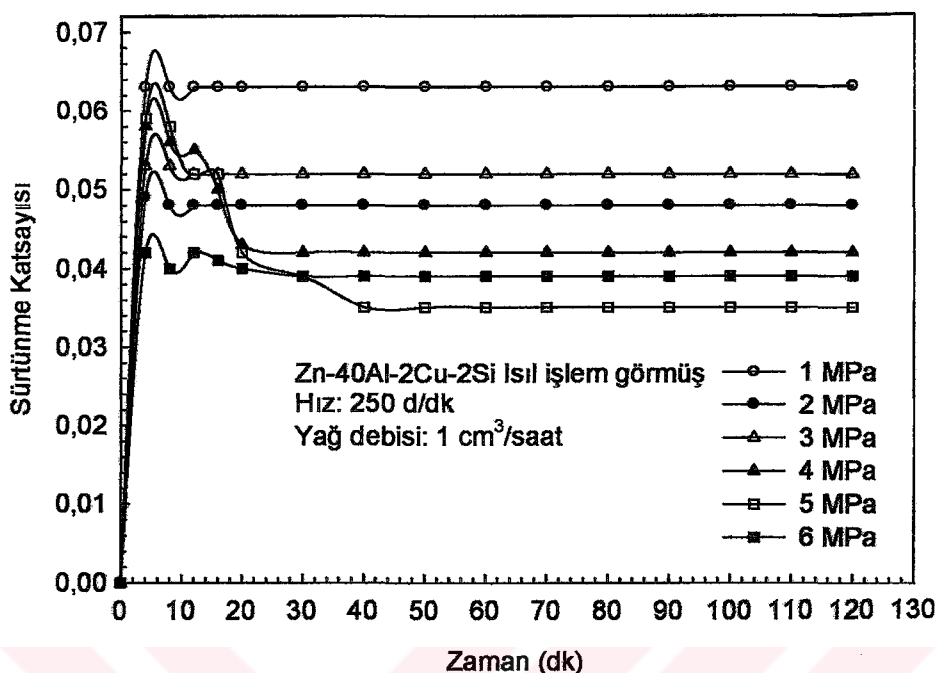
1 cm³/saat油脂摩擦系数与连续润滑条件下，Zn-40Al-2Cu-2Si合金和SAE 660黄铜的磨损量与压强和速度的关系如图9和图10所示。这些数据表明，在不同的压强和速度下，磨损量随压强和速度的增加而增加。Zn-40Al-2Cu-2Si合金在热处理后比铸造时具有更高的耐磨性。图12-43展示了这些数据。图中显示，无论是铸造还是热处理的Zn-40Al-2Cu-2Si合金，在压强和速度增加时，磨损量呈线性增加。黄铜在3 MPa压强下随速度增加时，磨损量呈对数增加。Zn-40Al-2Cu-2Si合金与黄铜相比，在相同压强下，其磨损量较低且随速度增加而增加得更快。然而，在4 MPa压强下，黄铜在某些速度下表现出与Zn-40Al-2Cu-2Si合金相同的磨损行为。



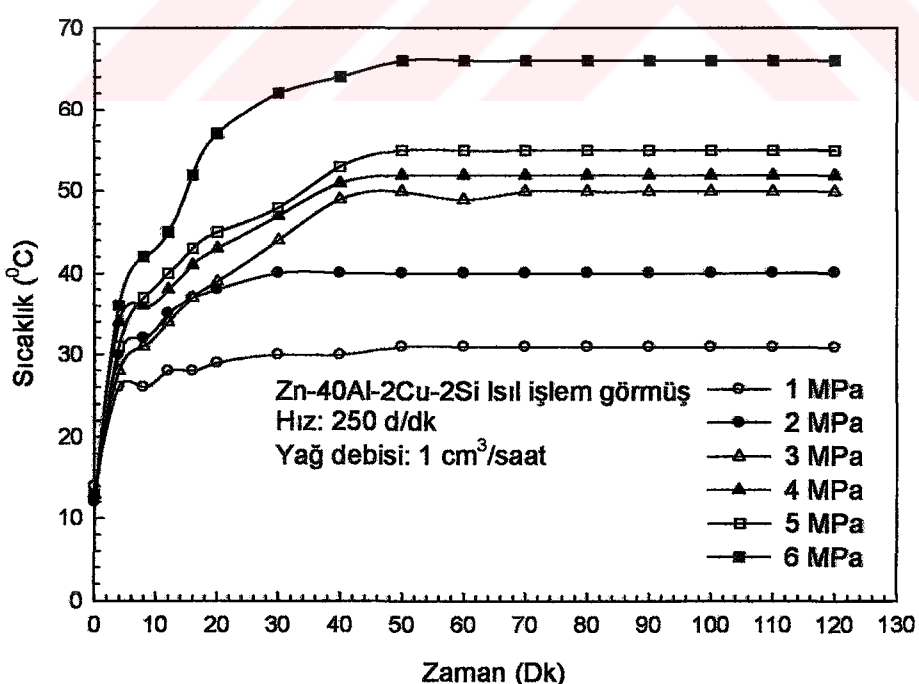
Şekil 33. Zn-40Al-2Cu-2Si合金の鋳造状態における試験片の摩擦係数の時間による変化を示すグラフ。



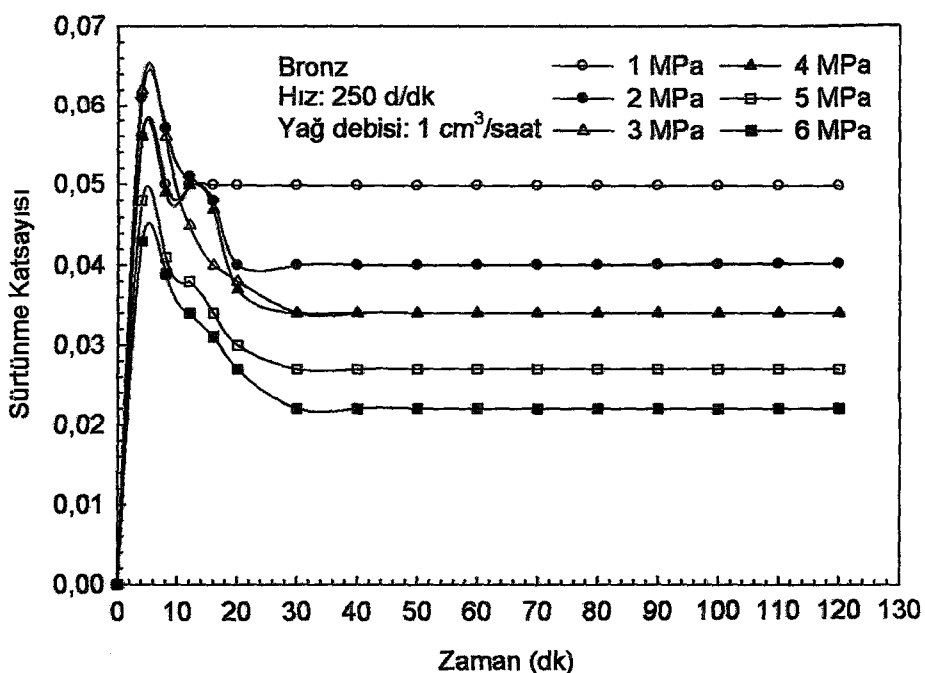
Şekil 34. Zn-40Al-2Cu-2Si合金の鋳造状態における試験片の作業温度の時間による変化を示すグラフ。



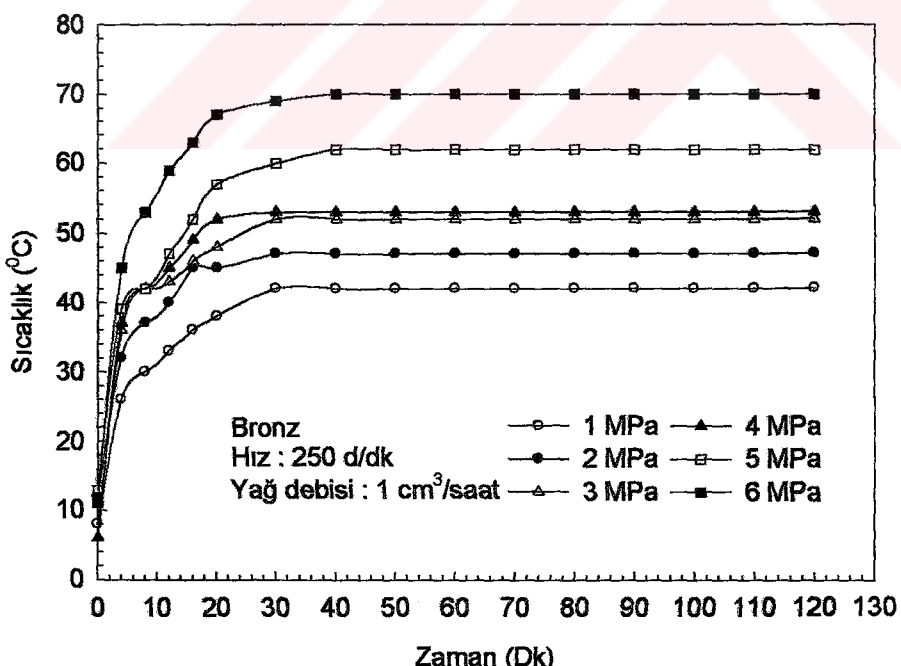
Şekil 35. Zn-40Al-2Cu-2Si合金の熱処理を受けた試験片の摩擦係数の時間による変化を示すグラフ。



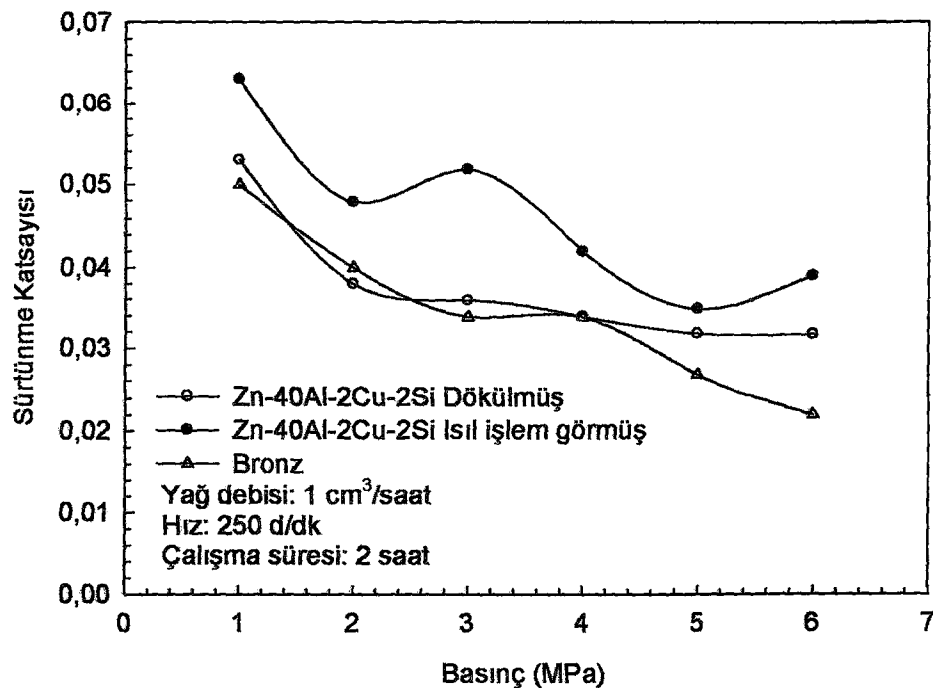
Şekil 36. Zn-40Al-2Cu-2Si合金の熱処理を受けた試験片の作業温度の時間による変化を示すグラフ。



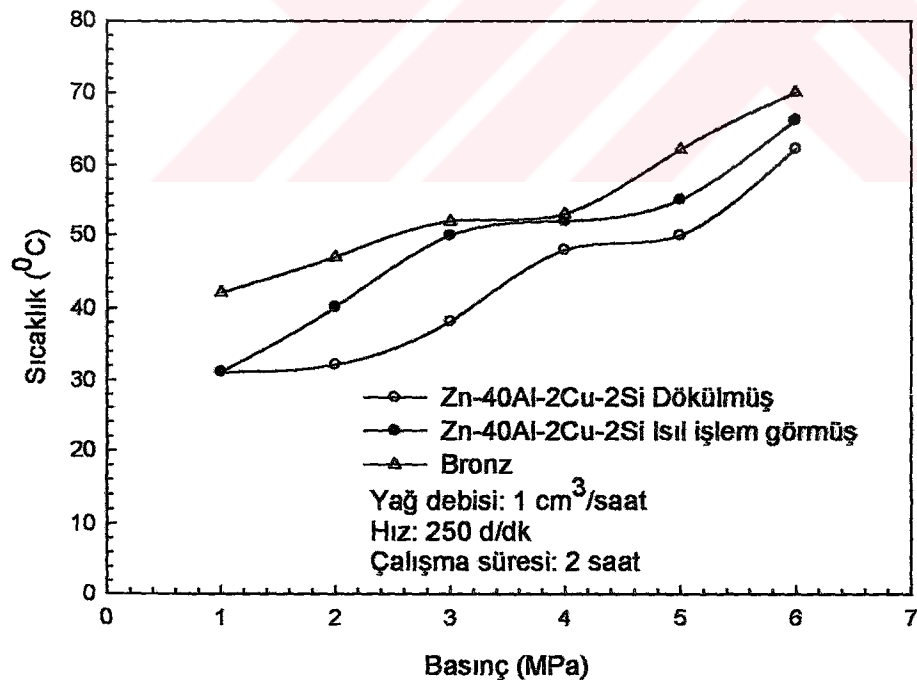
Şekil 37. SAE 660 bronzuna ait örneklerin sürtünme katsayılarının zamana göre değişimini gösteren eğriler.



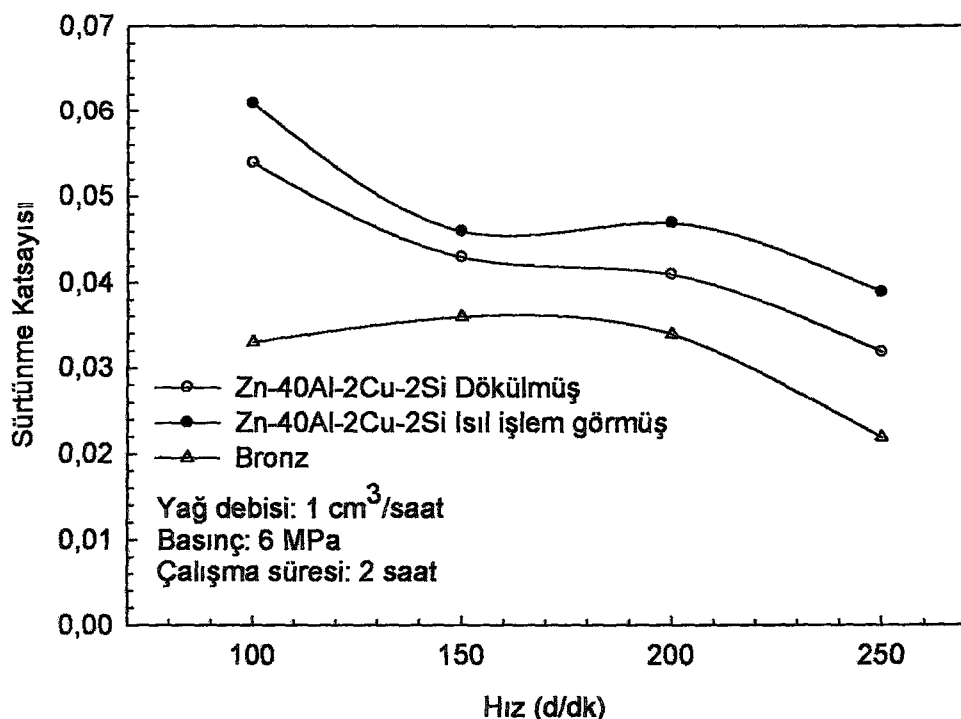
Şekil 38. SAE 660 bronzuna ait örneklerin çalışma sıcaklıklarının zamana göre değişimini gösteren eğriler.



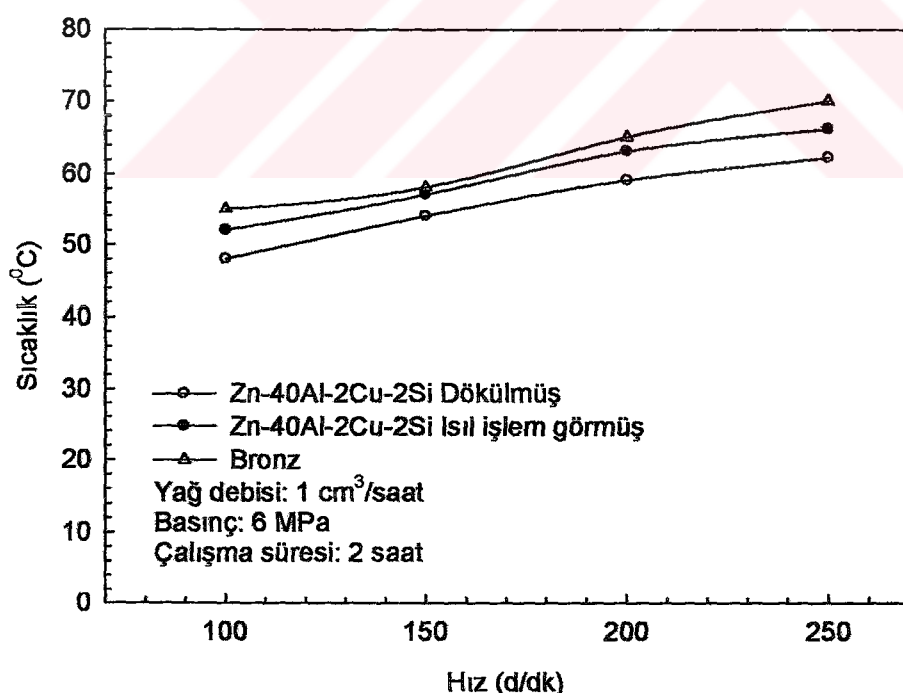
Şekil 39. Zn-40Al-2Cu-2Si合金 ile SAE 660 bronzunun ortalama sürtünme katsayısının basınçla göre değişimini gösteren eğriler.



Şekil 40. Zn-40Al-2Cu-2Si合金 ile SAE 660 bronzunun ortalama çalışma sıcaklığının basınçla göre değişimini gösteren eğriler.



Şekil 41. Zn-40Al-2Cu-2Si合金 ile SAE 660 bronzunun ortalama sürtünme katsayısının hızla göre değişimini gösteren eğriler.



Şekil 42. Zn-40Al-2Cu-2Si合金 ile SAE 660 bronzunun ortalama çalışma sıcaklığının hızla göre değişimini gösteren eğriler.

Bu durum Zn-40Al-2Cu-2Si合金ının gerek dökülmüş gerekse ıslı işlem görmüş durumlarda özellikle 4 MPa'nın üzerindeki basınçlarda çok daha üstün aşınma direnci sergilediğini göstermektedir.

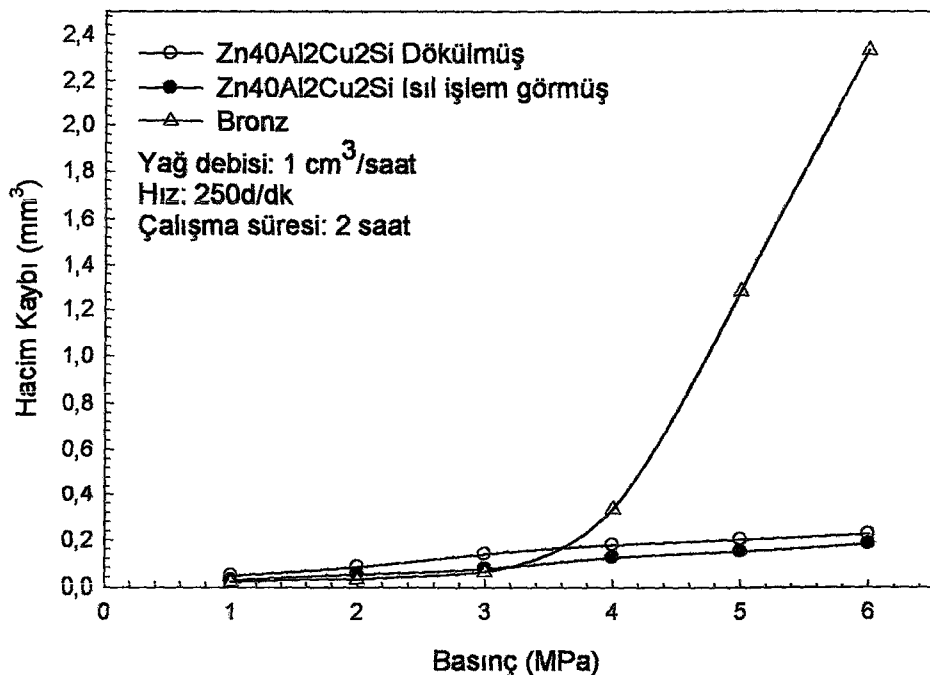
Diğer taraftan 6 MPa basınç altında, bronzda, Zn-40Al-2Cu-2Si合金ının dökülmüş ve ıslı işlem görmüş örneklerine göre çok daha yüksek hacim kaybı meydana gelmektedir. Ayrıca bu iki合金 arasındaki hacim kaybı farkının artan hız ile arttığı görülmektedir.

Tablo 9. 1 cm³/saat'lik yağ debisi ve 250 d/dk'lık dönme hızında yapılan deneylerde Zn-40Al-2Cu-2Si合金ımı ve SAE 660 bronzunda farklı basınçlarda meydana gelen hacim kaybı değerleri

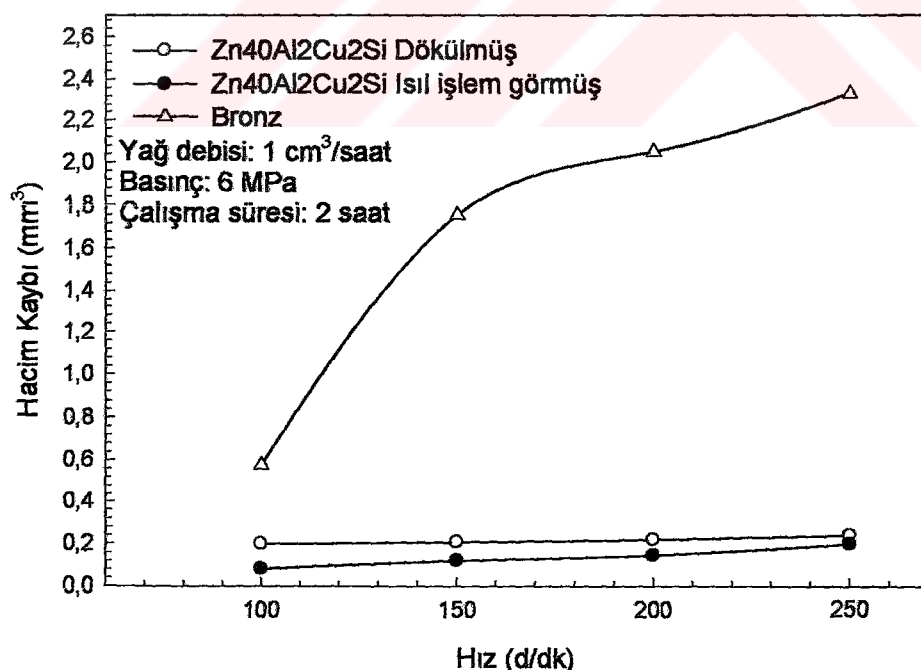
Alaşım	Basınç (MPa)					
	1	2	3	4	5	6
Zn-40Al-2Cu-2Si (Dökülmüş)	0,051	0,058	0,145	0,186	0,212	0,240
Zn-40Al-2Cu-2Si (ıslı işlem görmüş)	0,031	0,056	0,081	0,131	0,160	0,199
SAE 660 Bronzu	0,024	0,035	0,069	0,342	1,288	2,332

Tablo 10. 1 cm³/saat'lik yağ debisi ve 6 MPa'lık basınç altında yapılan deneylerde Zn-40Al-2Cu-2Si合金ımı ve SAE 660 bronzunda farklı dönme hızlarında meydana gelen hacim kaybı değerleri

Alaşım	Hız (d/dk)			
	100	150	200	250
Zn-40Al-2Cu-2Si (Dökülmüş)	0,198	0,207	0,219	0,240
Zn-40Al-2Cu-2Si (ıslı işlem görmüş)	0,081	0,119	0,145	0,199
SAE 660 Bronzu	0,574	1,758	2,057	2,332



Şekil 43. Zn-40Al-2Cu-2Si合金 ile SAE 660 bronzunun hacim kaybı değerlerinin basınçla göre değişimini gösteren eğriler.

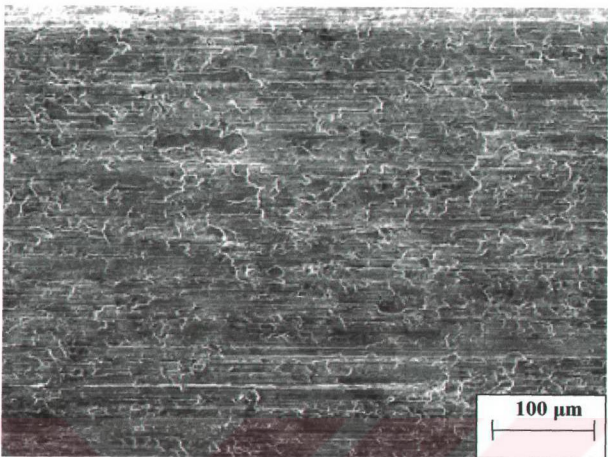


Şekil 44. Zn-40Al-2Cu-2Si合金 ile SAE 660 bronzunun hacim kaybı değerlerinin hızla göre değişimini gösteren eğriler.

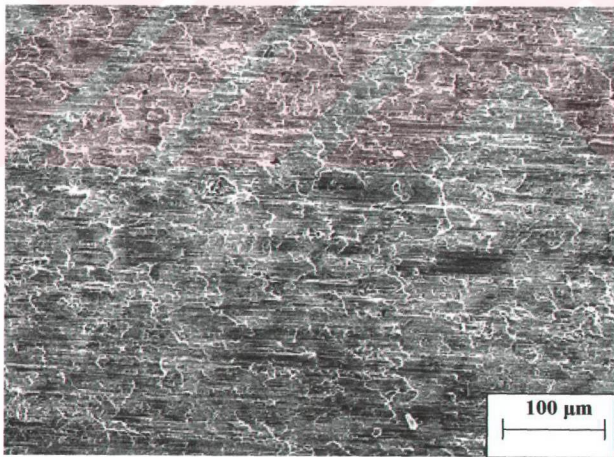
3.4. Aşınma Yüzeylerinin İncelenmesinden Elde Edilen Bulgular

Zn-40Al-2Cu-2Si合金的表面在持续润滑条件下，当其在具有低摩擦系数的衬垫上滑动时，SEM图像显示了剥落层、擦伤和沟槽。然而，在具有高摩擦系数的衬垫上滑动时，虽然剥落层仍然存在，但表面呈现出更细小的擦伤和沟槽特征。

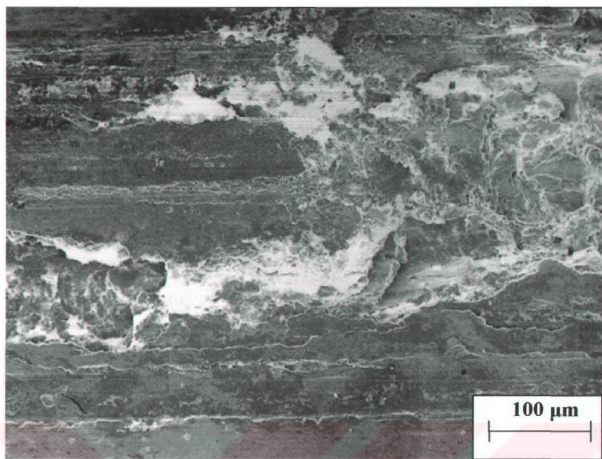
在持续润滑条件下，当Zn-40Al-2Cu-2Si合金与SAE 660青铜块相对滑动时，SEM图像显示了剥落层、擦伤和沟槽。然而，在具有高摩擦系数的衬垫上滑动时，虽然剥落层仍然存在，但表面呈现出更细小的擦伤和沟槽特征。



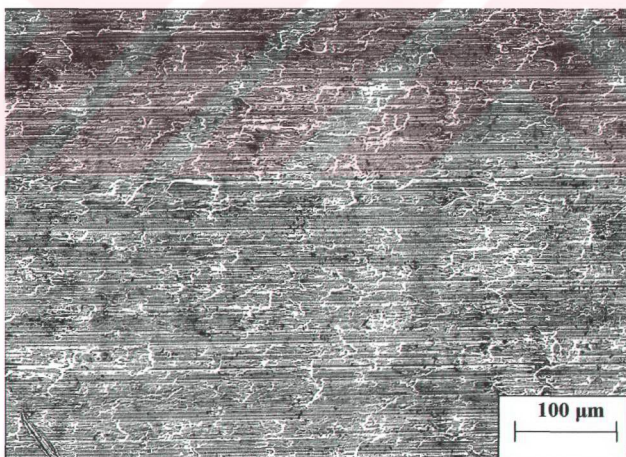
Şekil 45. 2 MPa'lık basınç, 250 d/dk'lık dönme hızı ve yetersiz yağlama durumunda çalışan Zn-40Al-2Cu-2Si合金ının dökülmüş durumındaki örneğinin aşınma yüzeyinin görünümü



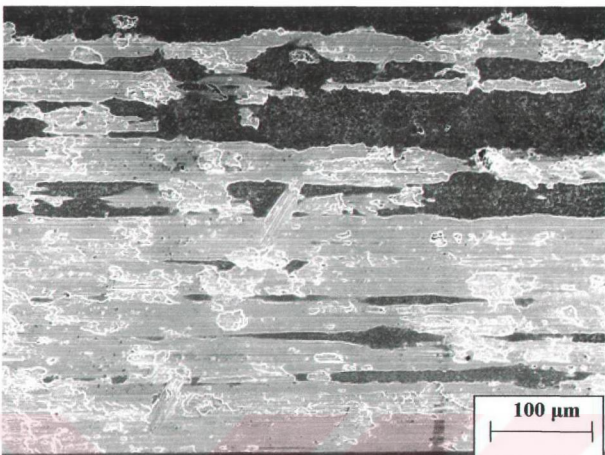
Şekil 46. 6 MPa'lık basınç, 100 d/dk'lık dönme hızı ve yetersiz yağlama durumunda çalışan Zn-40Al-2Cu-2Si合金ının dökülmüş durumındaki örneğinin aşınma yüzeyinin görünümü



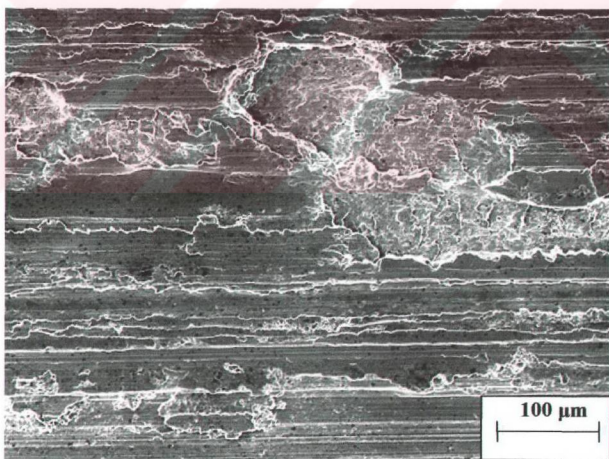
Şekil 47. 6 MPa'lık basınç, 250 d/dk'lık dönme hızı ve yetersiz yağlama durumunda çalışan Zn-40Al-2Cu-2Si合金ının dökülmüş durumda örneğinin aşınma yüzeyinin görünümü



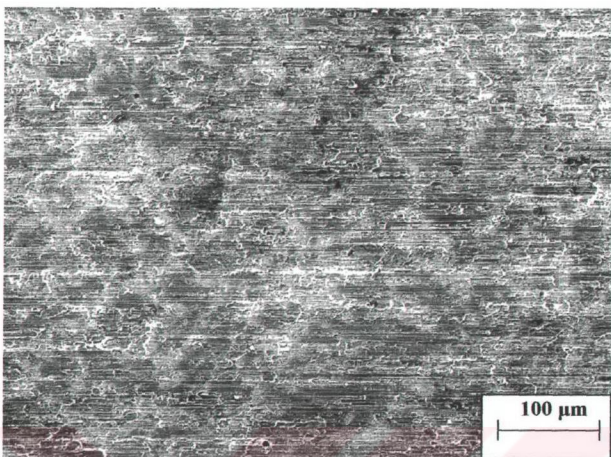
Şekil 48. 2 MPa'lık basınç, 250 d/dk'lık dönme hızı ve yetersiz yağlama durumunda çalışan Zn-40Al-2Cu-2Si合金ının ısıl işlem görmüş durumda örneğinin aşınma yüzeyinin görünümü



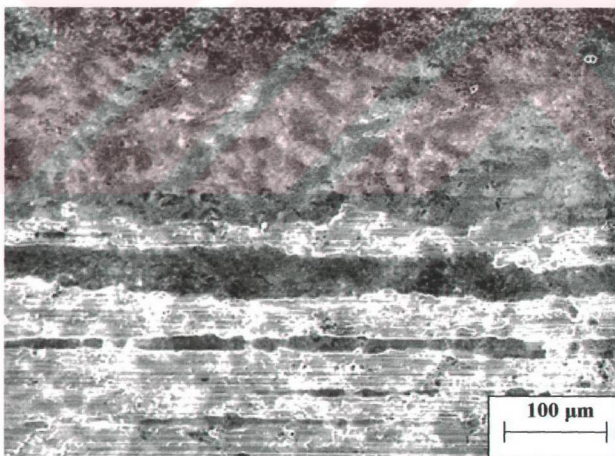
Şekil 49. 6 MPa'lık basınç, 100 d/dk'luk dönme hızı ve yetersiz yağlama durumunda çalışan Zn-40Al-2Cu-2Si alaşımının ısıl işlem görmüş durumdaki örneğinin aşınma yüzeyinin görünümü



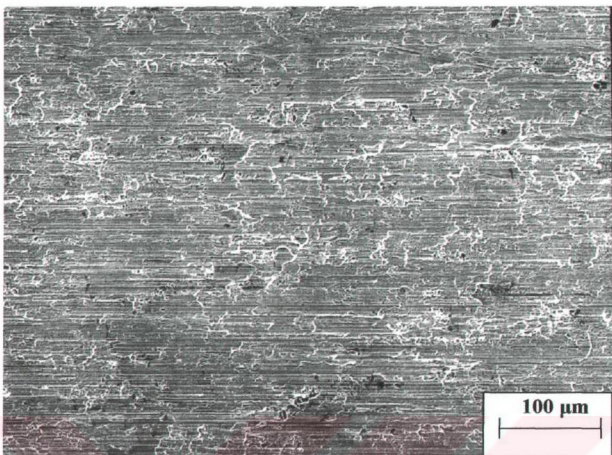
Şekil 50. 6 MPa'lık basınç, 250 d/dk'luk dönme hızı ve yetersiz yağlama durumunda çalışan Zn-40Al-2Cu-2Si alaşımının ısıl işlem görmüş durumdaki örneğinin aşınma yüzeyinin görünümü



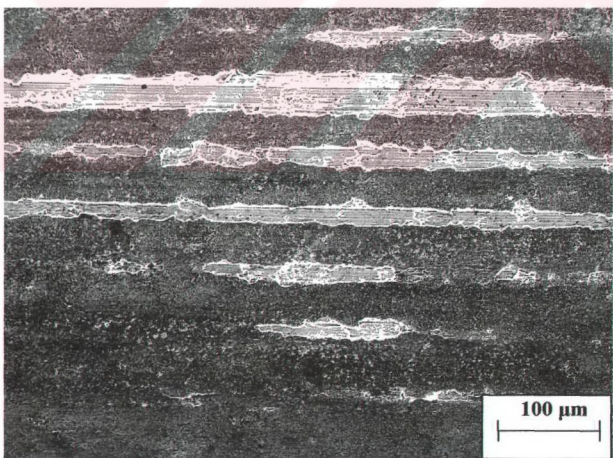
Şekil 51. Dökülmüş durumdaki Zn-40Al-2Cu-2Si alaşımının 2 MPa basınç altında $1 \text{ cm}^3/\text{saat}$ yağ debisi ve 250 d/dk dönme hızında deneye tabi tutulan örneğinin aşınma yüzeyinin görünümü



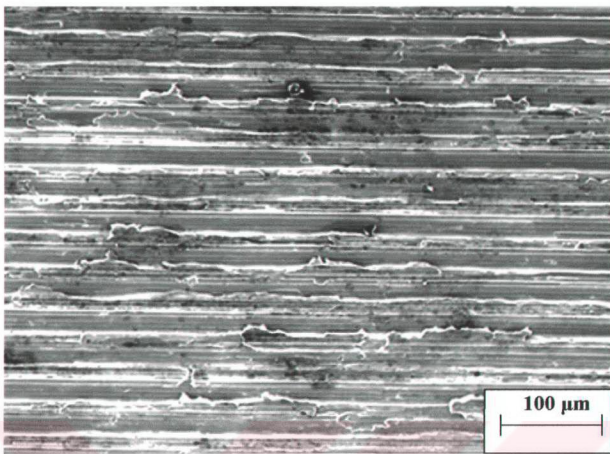
Şekil 52. Dökülmüş durumdaki Zn-40Al-2Cu-2Si alaşımının 6 MPa basınç altında $1 \text{ cm}^3/\text{saat}$ yağ debisi ve 250 d/dk dönme hızında deneye tabi tutulan örneğinin aşınma yüzeyinin görünümü



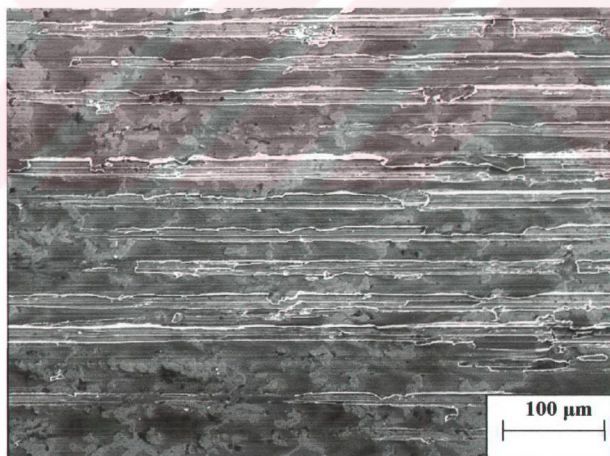
Şekil 53. Isıl işlem görmüş Zn-40Al-2Cu-2Si合金ının 2 MPa basınç altında $1 \text{ cm}^3/\text{saat}$ yağ debisi ve 250 d/dk dönme hızında deneye tabi tutulan örneğinin aşınma yüzeyinin görünümü



Şekil 54. Isıl işlem görmüş Zn-40Al-2Cu-2Si合金ının 6 MPa basınç altında $1 \text{ cm}^3/\text{saat}$ yağ debisi ve 250 d/dk dönme hızında deneye tabi tutulan örneğinin aşınma yüzeyinin görünümü



Şekil 55. 2 MPa basınç altında $1 \text{ cm}^3/\text{saat}$ 'lik yağ debisi ve 250 d/dk dönme hızında deneye tabi tutulan SAE 660 bronzuna ait örneğin aşınma yüzeyinin görünümü



Şekil 56. 6 MPa basınç altında $1 \text{ cm}^3/\text{saat}$ 'lik yağ debisi ve 250 d/dk dönme hızında deneye tabi tutulan SAE 660 bronzuna ait örneğin aşınma yüzeyinin görünümü

4. İRDELEME

Zn-40Al-2Cu-2Si合金的铸造态中的内部结构，由富铝的 α 相和富锌的 η 相、少量的铜相以及硅相组成。在热处理过程中， α 相的晶粒尺寸会减小，而 η 相的晶粒尺寸则会增加。然而， η 相的晶粒尺寸在过热时会减小，但不会完全消失，如图10所示。先前的研究者们已经观察到了过热时 η 相晶粒尺寸减小的现象，这与本文的结果一致。

干燥脱水和水洗之后，淬火处理的退火过程中的软化现象变得更加明显。在这种情况下，淬火后出现的软化现象可能是由于退火过程中晶界处的析出物被去除所致。因此，淬火后的软化现象是由于退火过程中晶界处的析出物被去除所致。因此，淬火后的软化现象是由于退火过程中晶界处的析出物被去除所致。

关于软化现象的讨论，图13-20展示了Zn-40Al-2Cu-2Si合金在不同温度下的软化行为。图中显示，在一定范围内，软化程度随温度升高而增加，但超过一定限度后，软化程度反而会减小。这种现象可能与材料的微观结构变化有关，特别是在过热时，晶粒尺寸减小，导致软化程度增加。然而，当温度过高时，晶粒尺寸过大，导致软化程度减小。

对于Zn-40Al-2Cu-2Si合金的摩擦系数，图5展示了其随温度变化的趋势。图中显示，摩擦系数在一定范围内随温度升高而增加，但超过一定限度后，摩擦系数反而会减小。这种现象可能与材料的微观结构变化有关，特别是在过热时，晶粒尺寸减小，导致摩擦系数增加。然而，当温度过高时，晶粒尺寸过大，导致摩擦系数减小。

ve basınç değerinden sonra bu alaşımın gerek dökülmüş gerekse ıslı işlem görmüş örneklerinin sürtünme katsayıları ve sıcaklıklarını belirgin şekilde arttığı görülmüştür, Şekil 13-20. Bu durum belirli çalışma süreleri sonunda yüzeydeki yağ filminin ortadan kalkarak kuru sürtünme durumuna geçilmesinden kaynaklanmış olabilir. [71]. Sözü edilen husus, dökülmüş durumdakiörnekte 3 MPa basınç ve 200 d/dk dönme hızında, ıslı işlem görmüş örnekte ise 4 MPa basınç ve 200 d/dk dönme hızından sonra belirgin bir şekilde ortaya çıkmaktadır, Şekil 21-28.

Yetersiz yağlama durumunda, alaşımın dökülmüş durumdaki örneklerinde ıslı işlem görmüş durumdaki örneklerine göre daha fazla aşınma kayıplarının meydana geldiği gözlandı. Başka bir deyişle söz konusu alaşımın aşınma direncinin ıslı işlem sonrası arttığı belirlendi. Önceki çalışmalarında da gözlenen bu durum aşınma ile meydana gelen hacim kaybının malzemelerin sertlik ve mukavemeti ile ters orantılı olarak değişmesinden kaynaklandığı görüşünü doğrulamaktadır [70].

Ayrıca alaşımın dökülmüş ve ıslı işlem görmüş örneklerinde aşınma ile meydana gelen hacim kayıplarının basınç ile exponansiyel, hız ile 4 MPa basınçca kadar lineer, bu basınçtan sonra ise exponansiyel olarak arttığı gözlandı (Şekil 29-32). Bu durum düşük hız ve basınçlarda kısmen etkili olan yağ filminin basınç ve hızın artmasıyla ortadan kalkarak kuru sürtünme durumuna geçilmesinden kaynaklanmış olabilir. Şöyled ki, alaşına ait örneklerin sürtünme katsayısı ve çalışma sıcaklıkları artan deney süresi ile artarak yüzeydeki yağ filminin bozulmasına veya ortadan kalkmasına yol açmaktadır. Yağ filminin ortadan kalkması kuru sürtünmeye yani metal-metal temasına neden olmakta, bunun sonucunda da aşınma kaybı artmaktadır [69].

1 cm³/saat'lık yağ debisinde gerçekleştirilen sürekli yağlama durumunda Zn-40Al-2Cu-2Si alaşımının ve SAE 660 bronzunun sürtünme katsayıları çalışmanın başlangıcında aniden artarak maksimum değerlere eriştiği, daha sonra ise azalarak sabit değerlere varlığı gözlandı. Bu alaşımların sıcaklıkları ise deneyin başlangıç aşamasında hızlı bir artış sergiledikten sonra artış hızı gittikçe azalarak denge sıcaklığına ulaştığı görüldü. Deneyin başlangıç aşamasında sürtünme katsayısında meydana gelen bu ani artış, yüzeylerde yeterli kalınlıkta yağ filmi oluşmaması nedeniyle ortaya çıkan metal-metal temasından kaynaklanmaktadır [37,57,70]. Aşılıtmaya devresi olarak adlandırılan bu aşamada hem yüzeylerin birbirine alışması (yüzey pürüzlerinin sürtünme etkisiyle koparak yatak numunesine sıvanması veya yüzeyden uzaklaşması) hem de yüzeyler arasında yeterli kalınlıkta yağ filmi oluşması nedeniyle sürtünme katsayısı azalmaktadır [57,69].

Sıcaklıklardaki artış ise, deneylerin başlangıç aşamasında metal-metal teması nedeniyle yüzeylerde ortaya çıkan sürtünme ısısından kaynaklanmaktadır [70]. Eş çalışan elemanlar zamanla birbirilerine alştıkça ve yüzeyler arasındaki yağ filminin kalınlığı artık sıcaklıklıktaki artış hızı azalmaktadır.

Zn-40Al-2Cu-2Si合金 ile SAE 660 bronzunun sürtünme katsayıları artan basınç ve hız ile genelde düşüğü gözlandı. Bu durum basınç ve hızın artması ile yüzeyler arasındaki yağ filminin incelmesi ve buna bağlı olarak da yağın iç sürtünmesinin azalmasından kaynaklanmış olabilir [72,73]. Çalışma sıcaklıklarının ise artan basınç ve hız ile genelde arttığı görüldü. Çalışma sıcaklıklarında artan basınç ile meydana gelen artış metal-metal temasının ve sürtünme kuvvetinin artmasından, artan hız ile meydana gelen artış ise yağ molekülleri arasındaki iç sürtünmenin artmasından ileri gelmiş olabilir [40].

Zn-40Al-2Cu-2Si合金ının sürtünme katsayısının SAE 660 bronzunun sürtünme katsayılarından daha yüksek olduğu görüldü. Ancak, bu合金 ıslı işlem görmüş durumda dökülmüş duruma göre daha yüksek sürtünme katsayısı sergilediği gözlandı. Bu durum, malzemelerin iç yapı ve mekanik özelliklerine dayandırılarak açıklanabilir. Şöyle ki,合金ların sertlik ve mukavemetinin yüksek olması bunların yüzeyinde bulunan pürüzlerin aşınmasını ve sıvanmasını zorlaştırmaktadır [62]. Önceki araştırmalarda da belirtildiği gibi çinko-alüminyum esası合金ların aşınma yüzeylerinde basınç etkisi ile meydana gelen plastik deformasyon ve sürtünme ısısı sonucunda sürtünme tabakaları oluşturmaktadır [37,61,64]. Numune yüzeyinden aşınma sonucunda kopan parçacıklar önce disk yüzeyine yapışmakta ve çalışmanın daha sonraki aşamalarında disk yüzeyinden de tekrar aşınma yüzeyine sıvanmaktadır [57,64]. Sürtünme katsayısı Kaynak 70'de verilen formüle ($\mu = \tau / \sigma_a$) göre malzemelerin sertlik ve mukavemetinin artması durumunda artmaktadır. Burada μ sürtünme katsayısını, τ malzemenin kayma mukavemetini ve σ_a 'da malzemenin akma mukavemetini göstermektedir. Nitekim Zn-40Al-2Cu-2Si合金ının ıslı işlem görmüş durumındaki sertlik ve mukavemeti, dökülmüş durumda elde edilen sertlik ve mukavemetinden ve SAE 660 bronzunun söz konusu değerlerinden daha yüksektir.

Zn-40Al-2Cu-2Si合金 ile SAE 660 bronzunda meydana gelen aşınma kayıplarının artan basınç ve hız ile doğru orantılı olarak arttığı gözlandı, Şekil 43-44. Söz konusu durum, artan basınç ile yağ filmi kalınlığının azalarak metal-metal temasının artmasından ve artan hız ile de alınan yolun artmasından meydana gelmektedir [72]. Ayrıca, 3 MPa'dan daha yüksek basınçlarda Zn-40Al-2Cu-2Si合金ının gereklilik dökülmüş ve gereklilik ıslı işlem görmüş durumlarda SAE 660 bronzundan daha üstün aşınma davranışları

sergilediği görüldü. Bu durum bu alaşımında ortaya çıkan aşınma mekanizmasına dayandırılarak açıklanabilir. Bronzun aşınmasında hem abrazyonun hem de adhezyonun etkin olduğu bilinmektedir. [37,40,61]. Ancak, basınç arttıkça yağ filmi incelmekte ve belirli değerden (3 MPa) sonra da abrazyon mekanizması etkin hale gelmektedir. Bunun sonucunda aşınma kaybı basınç ile hızlı bir şekilde artmaktadır. Zn-40Al-2Cu-2Si alaşımı hem dökülmüş hem de ıslık işlem görmüş durumda SAE 660 bronzundan daha üstün aşınma direnci sergilemiştir. Bu durum bu alaşımın iç yapı ve mekanik özelliklerinden başka yüzeylerinde oluşan yağ filmi ile oksit tabakalarına da bağlı olarak açıklanabilir [37]. Şöyle ki, Zn-40Al-2Cu-2Si alaşımının biri sert diğeri yumuşak iki faza sahiptir. Sert alüminyum oksit tabakası ile silisyum parçacıkları yük taşıma görevi yaparken, yumuşak çinko oksit tabakası ise kaymayı kolaylaştırmakta ve kopan parçacıkların kendi bünyesine gömülmesini sağlayarak hacim kaybını önlemektedir [36,60,67]. Ancak bu alaşımın aşınma direnci ıslık işlem sonrası daha da arttığı gözlenmiştir. Bu durum da uygulanan ıslık işlemin alaşımın iç yapısını değiştirerek sertlik ve mukavemetlerini artırmadan ileri gelmektedir [62].

Yetersiz yağlama durumunda düşük devir sayısı ve basınçlarda yapılan deneylerde Zn-40Al-2Cu-2Si alaşımına ait örneklerin yüzeylerinde ince aşınma çiziklerinin yüksek devir sayısı ve basınçlarda yapılan deneylerde ise sıvanma tabakalarının ve çukurların olduğu gözlandı, Şekil 45-50. Bu durumlar düşük devir sayısı ve basınçlarda yağ filminin metal-metal temasını engelleyerek etkin koruma yapmasından kaynaklanmış olabilir. Şöyle ki sürtünme katsayıları, çalışma sıcaklıklarını ile hacim kayıplarının 4 MPa 'dan sonra artması bu görüşü desteklemektedir. Ayrıca devir sayısı ve basınç arttıkça yüzeydeki yağ filmi incelmekte ve bu durum metal-metal temasına yol açmaktadır. Metal-metal teması sonucunda da alaşımın içerdiği sert silisyum parçacıkları ile bakırca zengin fazlar, aşınma ile örnek yüzeyinden koparak yüzeylerde kesme etkisi yapmaktadır [36,37,61,62].

Sürekli yağlama durumundaki çalışma sırasında ise Zn-40Al-2Cu-2Si alaşımının dökülmüş durumdaki örneğinin aşınma yüzeyinde belirgin sıvanma tabakalarının olduğu gözlandı. ıslık işlem görmüş örneğin aşınma yüzeyinde ise sıvanma tabakalarının yanı sıra aşınma çiziklerinin olduğu görüldü. Bu çizikler, uygulanan ıslık işlem sonucunda oluşan sert ve ince çökeltilerinin aşınma ile yüzeyden ayrılrken yüzeyi çizmesinden meydana gelmiş olabilir [62]. Bu bulgular bu alaşımın dökülmüş durumdaki örneklerinde adhezif aşınmanın etkin olduğunu, ıslık işlem görmüş durumdaki örneklerinde ise adhezif aşınmanın yanında abrasif aşınmanın da meydana geldiğini göstermektedir [62]. SAE 660 bronzunun aşınma

yüzeyinde gözlenen çizikler ve sivanma tabakaları ise bu alaşımın aşınmasında hem adhezyon hem de abrazyonun etkin olduğunu göstermektedir [37].



5. SONUÇLAR

1. Zn-40Al-2Cu-2Si合金的内部结构由富铝的 α 相与富硅的 η 相、少量的 ϵ 相以及少量的铝硅化物颗粒组成。
2. 在 150°C 下进行时效处理，通过冷却和加热循环， α 相完全溶解在固溶体中，形成细小的 η 相颗粒。然而，在铝硅化物颗粒中没有观察到任何显微组织变化。
3. 在不充分润滑的情况下，随着压强从 3 MPa 增加到 4 MPa ，摩擦系数先降低后升高，同时摩擦系数随温度的升高而降低。
4. 在不充分润滑的情况下，摩擦系数随压强的增加而呈指数增长，但当压强超过 4 MPa 时，摩擦系数将不再随压强增加而显著增加。
5. 在持续润滑的情况下，摩擦系数随压强的增加而降低，同时摩擦系数随温度的升高而降低。
6. 在Zn-40Al-2Cu-2Si合金中，即使在充分润滑的情况下，摩擦系数也随压强的增加而增加，且在 3 MPa 以上时，摩擦系数会突然增加。
7. 在 $1 \text{ cm}^3/\text{saat}$ 的流量下，Zn-40Al-2Cu-2Si合金在 3 MPa 压强下的摩擦系数比SAE 660黄铜在相同条件下的摩擦系数高。

8. Zn-40Al-2Cu-2Si合金的铸造样品在疲劳试验中的断裂模式与热喷涂、热处理样品相比，除了疲劳裂纹外，还存在剥落和脱层现象。而在SAE 660青铜上，热喷涂和热处理样品的疲劳强度较低。



6. ÖNERİLER

1. Bu alaşımaların farklı yağlama durumu, farklı basınç ve farklı hız koşullarındaki aşınma davranışları incelenerek bu alaşımlardan yapılan yataklardaki aşınma mekanizmaları ortaya konulabilir.
2. Yüzey pürüzlüğünün bu alaşımaların sürtünme ve aşınma davranışlarına etkileri araştırılarak bu alaşımlardan üretilen yatakların işlenme yöntemi ve şekli hakkında bilgiler elde edilebilir.

7. KAYNAKLAR

1. Savaşkan, T., The Structure and Properties of Zinc-Aluminum Based Bearings Alloys, Ph.D. Thesis, University of Aston in Birmingham, 1980.
2. Goodwin, F.E. ve Ponikvar, A.L., Engineering Properties of Zinc Alloys, International Lead Zinc Research Organization, Third Edition, USA, January 1989.
3. Calayag, T. ve Ferres, D., High Performance High Aluminum Zinc Alloys for Low Speed Bearings and Bushings, SAE Annual Conference, Paper No: 820643, (1983) 2241-2251.
4. Gervais, E. ve Levert, H.M., The Development of A Family of Zinc Based Foundry Alloys, American Foundrymen's Society Transaction, 88 (1980) 183-194.
5. Geng, H., Ma, J., Friction and Wear of Al-Zn-Pb Bearing Alloy, Wear 169 (1993) 201-207.
6. Calayag, T., Zinc Alloys Replace Bronze in Mining Equipment Bushings and Bearings, Mining Engineering, (1983)727-728.
7. Zhu, Y., Yan B. ve Huan, W., Bearing Wear Resistance of Monotectoid Zn-Al Based Alloy (ZA-35), Materials Science and Technology, 11, (1995) 109-113.
8. Durman, M. ve Murphy, S., Precipitation of Metastabil ϵ -Phase in a Hypereutectic Zinc-Aluminum Alloys Containing Copper, Acta Metal. Matter.,39, 10 (1991) 2235-2242.
9. Ma, T., Chen, D.Q., Li, S.C. ve Wang, H.M., Effect of Mn on Lubricated Friction and Wear Properties of Zn-Al Alloys, Louyang Institute of Technology, Louyang, People's Republic of China, 1990.
10. Engineering Properties of Zinc Alloys, ILZRO, New York, April 1981.
11. Altorfer, K.J., Zinc Alloys Compete with Bronze in Bearings and Bushings, Metal Progress, 122, 6 (1982) 29-31.
12. Marczak, R.J. ve Ciach, R., Tribological Properties of Concentrated Al-Zn Alloys, Proc. 1st Europe Tribology Congress, 1973, London, 223-227.
13. Lyon, R., The Properties and Application of ZA Alloys, The British Foundryman, August 1986, 344-349.
14. Gervais, E., Loong, C.A., New ZA Alloys in Die Casting, 11th International Pressure Die Casting Conference, June 1984, Lyon, France, 1-25

15. Lyon, R., Engineering Applications of ZA Alloys, Proc. Second Conference On Material Engineering, London, 1985, 221-227.
16. Mihaichuk, W., Zinc-Alloy Bearings Challenge the Bronzes, Machine Design, 53, 28 (1981) 133-137.
17. Wakefield, E.C., Copper-Aluminium-Zinc Alloy Excels in Tough Conditions, Design Engineering, (1973) 1-4.
18. Barnhurst, R.J., Zinc-Aluminum Alloy Design Manuel for Continious Rotation Bearings, Noranda Sales Corporation Ltd, Toronto, January, 1988.
19. Givertz, A.C., Zinc Casting Alloys-A Comparative Properties Analysis, Society of Automotive Engineers, Paper no 871953, (1988) 104-1067.
20. Apelian, D., Palival, M. ve Herrschaft, D.C., Casting with Zinc Alloys, Journal of Metals, 33, 11 (1991) 12-19.
21. Pürçek, G., Küçükömeroğlu, T. ve Savaşkan, T., Çinko-Alüminyum Esaslı Alaşımardan İmal Edilen Yatakların Tribolojik Özelliklerinin İncelenmesi, Mühendis ve Makina, 37 (1996) 35-41.
22. Riston, T.J., Barnhurst, R.J. ve Mihaichuk, W., Comparative Wear Rate Evaluation of Zinc-Aluminium (ZA) and Bronze Alloys Through Block-on-Ring Testing and Field Applications, Paper No 860064, SAE Annual Conference, Detroit, USA, 1986.
23. Gross, D.K., Zinc Alloys: Specification and Processing, Society of Automotive Engineers, Paper No 871952, (1988) 1069-1075.
24. Savaşkan, T. ve Murphy S., Decomposotion of Zn-Al Alloys on Quench-Aging, Material Science and Technology, 35, 6 (1990) 695-700.
25. Murphy, S., Solid State Reactions in the Low Copper Part of The Al-Cu-Zn System, Zeitshriftmetalkunde, 71 (1980) 96-102.
26. Savaşkan, T. ve Murphy S., Zn-Al Esaslı Yatak Alaşımlarındaki Faz Dönüşümleri, 4. Ulusal Metalurji Kongresi, Ankara, Ekim 1986, Bildiriler Kitabı, Cilt II, 532-555.
27. Barnhurst, R.J., Guidelines for Designing Zinc Alloy Bearing a Technical Manuel, Society of Automotive Engineers, Paper No 880289, (1988) 2164-2170.
28. Murphy S., The Structure of the T' Phase in The System Al-Cu-Zn, Metal Science, 9 (1975) 163-168.
29. Savaşkan, T. ve Murphy S., Metallography of Zn-25%Al Based Alloys in the As-Cast and Aged Conditions, Practical Metallography, 24 (1987) 15-23.

30. Zhu, Y.H. ve Murphy S., A General Rule of Decomposition Reaction in Supersaturated Zn-Al Based Alloys, Chinese Journal of Metal Science and Technology, 2 (1986) 103-115.
31. Zhu, Y.H., Phase Equilibria in Zn-Al-Cu-Si Alloys, Chinese Journal of Metal Science and Technology, 5 (1989) 113-118.
32. Zhu, Y.H. ve Goodwin F., Microstructures of Thermomechanically Treated Eutectoid Zn-Al Alloy, Journal of Material Science and Technology, 10 (1994) 121-126.
33. Zhu, Y.H. ve Lee W.B., Tensile Deformation and Phase Transformation of Furnace Cooled Zn-Al Based Alloy, Material Science and Engineering A, 293 (2000) 95-101.
34. Zhu, Y.H., Savaşkan T. ve Murphy S., Phase Transformations in Quench-Aged Zn-Al-Si Alloys, Mat. Res. Soc. Proc., 21 (1984) 835-840.
35. Aydiner, A., Silisyum Katkısının Monotektoid Esaslı Çinko-Alüminyum Alaşımlarının Tribolojik Özelliklerine Etkisinin İncelenmesi, Yüksek Lisans Tezi, KTÜ, Fen Bilimleri Enstitüsü, Trabzon, 2002.
36. Savaksan, T. ve Aydiner, A., Effect of Silicon Content on The Mechanical Properties of Monotectoid-Based Zinc-Aluminium-Silicon Alloys, Wear, 257 (2004) 377-388.
37. Bican, O., Silisyum Oranının Monotektoid Esası Zn-Al-Cu-Si alaşımının Mekanik ve Tribolojik Özelliklerine Etkisinin İncelenmesi, Yüksek Lisans Tezi, KTÜ, Fen Bilimleri
38. Barnhurst, R.J., Zinc and Zinc Alloys Metal Handbook, 10th Edition, Vol.2, American Society for Metals, Metals Park, Ohio, 1991.
39. Lyon, R., New Zinc Alloys with Wide Engineering Applications, The Institute of British Foundryman, 83rd Annual Conference, Buxton, (1986) 87-97.
40. Pürçek, G., Çinko-Alüminyum Esası Alaşımlardan Üretilen Kaymalı Yatakların Statik ve Dinamik Yük Altındaki Tribolojik Özelliklerinin İncelenmesi, Doktora Tezi, KTÜ, Fen Bilimleri Enstitüsü, Trabzon, 2000.
41. Zhu, Y., Goodwin, F., Influence of Rare Earth Element Addition on Phase Transformations in the Zn-%27Al Alloy, Journal of Materials Research Society, 8 (1993) 3043-3049.
42. Aydin, M., Çinko-Alüminyum Esası Alaşımının Değişik Ortamlardaki Yorulma Davranışlarının İncelenmesi, Doktora Tezi, KTÜ, Fen Bilimleri Enstitüsü, Trabzon, 2001.
43. Panday, J.P. ve Prasad, B.K., Dry Sliding Wear Behaviour of a Zinc Based Alloy Against Different Counterface Materials, Metallkunde, 88 (1997) 739-743.

44. Marczak, R.J. ve Ciach, R., Tribological Properties of Concentrated Al-Zn Alloys, Proc. 1st Europe Tribology Congress, 1973, London, 223-227.
45. Lee, P.P., Savaşkan, T. ve Laufer, E., Wear Resistance and Microstructure of Zn-Al-Si and Zn-Al-Cu Alloys, Wear, 117, (1987) 79-89.
46. Torabian, H., Pathak, J.P. ve Tiwari, S.N., Wear Characteristics of Al-Si Alloys, Wear, 172 (1994) 49-58.
47. Savaşkan, T. ve Ayar, H. H., Çinko-Alüminyum Alaşımlarının %2 HCl Sulu Çözelti Ortamındaki Korozyon Davranışının İncelenmesi, Korozyon, 8 (1996) 3-9.
48. Savaşkan, T. ve Murphy, S., Mechanical Properties and Lubricated Wear of Zn-25Al-Based Alloys, Wear, 116 (1987) 211-224.
49. Savaşkan, T., Torul, O. ve Çuvalcı H., Çinko-Alüminyum Alaşımlarının İç Yapı ve Mekanik Özelliklerinin İncelenmesi, 5. Ulusal Metalurji Kongresi, Ankara, Kasım 1988, Bildiriler Kitabı, Cilt II, 794-798.
50. Kubel, E. J., Expanding Horizons for ZA Alloys, Metal Progress, 7 (1987) 51-57.
51. Prasad, B. K., Microstructure, Mechanical Properties adn Sliding Wear Characteristic of Zinc-Based Alloys: Effec of Partially Substituting Cu by Si, Zeitshrift Metalkunde 88 (1997) 929-933.
52. Turhal, M. Ş., Soğuma Hızının Çinko-Alüminyum Alaşımlarının Yapı ve Özelliklerine Etkisi, Doktora Tezi, KTÜ, Fen Bilimleri Enstitüsü, Trabzon, 2001.
53. Savaşkan, T., Turhal, M. Ş. ve Murphy, S., Effect of Cooling Rate on Structure and Mechanical Properties of Monotectoid Zinc-Aluminium Alloys, Material Science and Technology, (2003)19-67.
54. Skenazi, A. F., Pelerin, J., Coutsouradis, D., Magnus, B. Ve Meeus, M., Some Resent Developments in the Improvement of the Mechanical Properties of Zinc Foundry Alloys, Metall, 37, 9 (1983) 898-902.
55. Savaşkan, T., ve Murphy, S., Creep Behaviour of Zn-Al-Cu Bearing Alloys, Zeitshrift Metalkunde, 74 (1983) 76-82.
56. Pürçek, G., Çinko-Alüminyum Esashı Alaşımlardan Üretilen Kaymali Yatakların Tribolojik Özelliklerinin İncelenmesi, Yüksek Lisans Tezi, KTÜ, Fen Bilimleri Enstitüsü, Trabzon, 1994.
57. Savaşkan, T. ve Pürçek, G., Çinko-Alüminyum Esashı Alaşımının ve Bu Alaşımlardan Üretilen Kaymali Yatakların Aşınma Özellikleri, Türk Mühendis ve Çevre Bilimleri Dergisi (Tr. J. Env. Sci.), 24 (2000) 25-34.

58. Prasad, B. K., Effect of Silicon Addition and Test Parameters on Sliding Wear Characteristic of Zinc-Based Alloys Containing 37.5% Aluminium, Materials Transactions, JIM, 38, 8 (1997) 701-706.
59. Savaşkan, T., Hekimoğlu, A. P. ve Pürçek, G., Effect of Copper Content on the Mechanical and Sliding Wear Properties of Monotectoid-Based Zinc-Aluminium-Copper Alloys, Tribology, 2003.
60. Savaşkan, T., Pürçek, G. ve Hekimoğlu, A. P., Effect of Copper Content on the Mechanical and Tribological Properties of ZnAl27-Based Alloys, Tribology Letters, 15, 3 (2003) 257-263
61. Pürçek, G., Savaşkan, T., Küçükömeroğlu, T. ve Murphy, S., Dry Sliding Friction and Wear Properties of Zinc-Based Alloys, Wear, 252 (2002) 894-901.
62. Hekimoğlu, A.P., Bakır Katkısı ve Isıl İşlemin Çinko-Alüminyum Alaşımlarının Sürtünme ve Aşınma Özelliklerine Etkisinin İncelenmesi, Yüksek Lisans Tezi, Fen Bilimleri Enstitüsü, Trabzon, 2002
63. Turhal, M. Ş., Çinko-Alüminyum Esaslı Alaşımlarında Mukavemet Artırma Yöntemlerinin İncelenmesi, Yüksek Lisans Tezi, Fen Bilimleri Enstitüsü, Trabzon, 1994.
64. Bektaşoğlu, A., Zn-Al-Cu Alaşımlarının Kuru Sürtünme Durumundaki Aşınma Özelliklerinin İncelenmesi, Yüksek Lisans Tezi, Fen Bilimleri Enstitüsü, Trabzon, 2004
65. Prasad, B.K., Venkateswarlu, K. ve Modi , O.P., Sliding Wear Behaviour of Some Al-Si Alloys: Role of Shape and Size of Si Particles and Test Conditions, Metallurgical and Materials Transactions A, Volume 29A, (1997) 2747-2752.
66. Jian, L., Laufer, E.E. Ve Masounave, J., Wear in Zn-Al-Si Alloys, Wear, 165 (1993) 51-56.
67. Murphy, S. ve Savaşkan, T., Comparative Wear Behaviour of Zn-Al-Based Alloys in an Automotive Engineer Aplication, Wear, 98 (1984) 151-161.
68. Savaşkan, T., Malzeme Bilgisi ve Muayenesi, Derya Kitabevi, Trabzon, 2000.
69. Akkurt, M., Makine Elemanları, Cilt I-II, Birsen Yayınevi, İstanbul, 2000.
70. Halling, J. , Principles of Tribology, Macmillan Education Ltd, London, 1989.
71. Prasad, B.K., Effects of Heat Treatment on The Partially Lubricated Sliding Wear Behaviour of a Zinc Based Alloy, Mater. Trans., 7 (1999) 578-585.
72. Fuller D. D., Theory and Practice of Lubrication for Engineers, John Wiley and Sons Inc., U.S.A.,1956.

73. Okday, Ş., Makine Elemanları II. Cild, Rulmanlı Yataklar, Kaymali Yataklar ve Yağlama, Birsen Kitabevi, İstanbul, 1997.
74. Boyer, H. E. and Gall, T. L., Metals Handbook Desk Edition, American Society for Metals, Ohio, 1985

ÖZGEÇMİŞ

Zeki AZAKLI 1979 yılında Trabzon'da doğdu. 1996 yılında Trabzon İmam Hatip Lisesi'ni bitirdi. 2001 yılında Karadeniz Teknik Üniversitesi Mühendislik-Mimarlık Fakültesi Makina Mühendisliği Bölümü'nden Makina Mühendisi unvanı ile mezun oldu. 2001 yılında girdiği K.T.Ü. Fen Bilimleri Enstitüsü Makina Mühendisliği Anabilim Dalı'nda Yüksek Lisans öğrenimine devam etmektedir.

